



مقاله پژوهشی

کاربرد مدل نمایی پراش-مسافت در بررسی‌های ژئوشیمیایی کانسار روی کالامین (مجتمع معنی مهدی‌آباد یزد)

نسرین صدرمحمدی^{۱*}، سید رضا مهرنیا^۲، خلیل رضایی^۱، سلما کادی‌اوغلو^۳ و محمود هنرور^۴

۱) گروه زمین‌شناسی، دانشکده علوم زمین، دانشگاه خوارزمی، تهران، ایران

۲) گروه زمین‌شناسی، دانشگاه پیام‌نور، ایران

۳) گروه مهندسی ژئوفیزیک، دانشکده مهندسی، دانشگاه آنکارا، آنکارا، ترکیه

۴) گروه زمین‌شناسی، شرکت مهندسین مشاور زمین‌آب‌پی، تهران، ایران

دریافت مقاله: ۱۳۹۹/۰۳/۱۲، پذیرش: ۱۳۹۹/۱۰/۱۷

چکیده

معدن روی-سرب کالامین (مهدی‌آباد، یزد، ایران مرکزی)، یک رخمنون اقتصادی غیرسولفیدی با منشأ رسوبی-آتشفسانی است که بر اساس سوابق اکتشافی منطقه، از ویژگی‌های زمین‌شناسی و ژئوشیمیایی متناسب با محیط‌های سوپرژن برخوردار است. در این پژوهش، از سه رهیافت رگرسیون خطی، توزیع پواسونی و تغییرات بعد فرکتال برای بازنی توزیع‌های ژئوشیمیایی و معروف اولویت‌های اکتشافی منطقه مورد بررسی استفاده شده است. مقایسه ضرایب رگرسیون خطی و توزیع پواسونی عناصر مختلف، بیانگر تمایل نسبی آنها به توزیع غیرخطی است. بنابراین از مدل نمایی پراش-مسافت برای دستیابی به تغییرات بعد فرکتالی ۱۳ عنصر شاخص و ردیاب ذخایر برون‌دمی استفاده شده است. تعیین سطح توزیع برآونی هر عنصر، ملاک هندسی جدیدی است که با فرایند خودساماندهی ژئوشیمیایی در سامانه‌های ماگمایی، گرمایی و آتشفسانی سازگاری دارد. در پیش‌بینی به روش فرکتال، از الگوی ناحیه‌بندی ترکیبی شامل ۱۰ عنصر با سطوح آرمانی و ۳ عنصر با سطوح نزدیک به سطح برآونی برای معرفی اولویت‌های اکتشافی منطقه استفاده شده است. نتایج پژوهش نشان می‌دهند که عناصر آرسنیک، روی و آنتیموان از سطوح توزیع برآونی مطلوب ($FD < 2$) برای تولید مؤلفه‌های متناظر (عيارهای متناظر) برخوردارند. تغییرات بعد فرکتالی سرب، مس، نقره و گوگرد از نوع محدود، اما قابل برآش با سطوح برآونی آرسنیک، روی و آنتیموان بوده و بیانگر ناحیه‌بندی ژئوشیمیایی متناسب با فرایند غنی‌شدگی در عمق رخساره‌های دگرسانی است. لذا بر اساس نقشه پیش‌داوری مبتنی بر تحلیل‌های واریوفرکتالی، امکان دستیابی به ذخایر هیپوژنیک در برخی از اهداف اکتشافی منطقه کالامین وجود دارد.

واژه‌های کلیدی: سطح برآونی، کالامین، کانی‌سازی روی و سرب، مدل پراش-مسافت

مقدمه

(Akbari and Mehrnia, 2013). در اغلب محیط‌های ماقمایی، سازوکار توزیع عناصر کمیاب از نوع خودساماندهی شده است؛ بنابراین با استفاده از معادلات فرکتال، امکان شناسایی و تفکیک هالهای ژئوشیمیایی (دگرسانی)، بیش از روابط خطی Grigoryan, 1974; Bölviken et al., 1992) به این ترتیب، هرجایی که توزیع‌های ژئوشیمیایی با فراهم می‌شود (Agterberg, 2012; Cheng et al., 2000; Davis, 2002; Cheng et al., 2010; Luz et al., 2014; Parsa et al., 2016) اساس تغییرات بعد فرکتال تعیین می‌شود (Cheng et al., 2000; Davis, 2002; Cheng et al., 2010; Luz et al., 2014; Parsa et al., 2016). هرچه توزیع یک عنصر کمیاب به تابع توزیع پواسون نزدیک باشد، احتمال بروز رفتارهای فرکتالی بیشتر می‌شود که از نشانه‌های آن افزایش مؤلفه‌های متناظر (تکرارپذیر) در تغییرات عیار و مؤلفه‌های هندسی توزیع است. به طور مثال ویژگی توزیع غیرخطی سیلیس و ارتباط آن با تحولات بافتی رگه‌های میزالیزه، رهیافت نوینی است که نخستین‌بار توسط Mehrnia (2013) برای شناسایی آثار طلای اپی‌ترمال در شمال‌غرب ایران معرفی شده است. در این پژوهش به بررسی توزیع فرکتالی عناصر شاخص و ردیاب کانسار روی-سرب کالامین پرداخته شده و پایگاه داده‌های مکانی آن از نمونه‌های لیتوژئوشیمیایی منطقه اکتشافی مهدی‌آباد تأمین شده است (مجتمع معدنی مهدی‌آباد). از دیدگاه زمین‌شناسی، رخمنون معدنی منطقه کالامین در بخش بالایی یک سامانه کانساری با نوع رسوبی-برون‌دمی¹ قرار گرفته است. سازوکار توزیع عناصر ردیاب و شاخص معدن کالامین و مقایسه آن با الگوی توزیع عناصر فوق کانساری² و تحت کانساری³ در Grigoryan, 1974; Hassani-Pak, 2012)، از عامل‌های مهم برای معرفی اولویت‌های اکتشافی منطقه مورد بررسی است. وجود پدیده‌های زمین‌ساختی جوان و تعدد سامانه‌های گسلی، از عوامل توزیع مجدد عناصر و بروز رفتار غیرخطی عناصر در مراحل پیدایش ذخایر ماقمایی،

اصول هندسه فرکتال برای نخستین‌بار در سال ۱۹۸۳ میلادی توسط مندلبروت پایه‌گذاری شد. منطق حاکم بر معادلات فرکتالی مبتنی بر روش‌های غیرخطی است (Mandelbrot 1983; Wei and Pengda, 2002; Mehrnia, 2009; Zuo and Wang, 2016; Zuo et al., 2016 مدل‌سازی پدیده‌های طبیعی را به وجود آورده‌اند. در اکتشافات ژئوشیمیایی، تمایل عناصر به خودساماندهی و توزیع عیارهای متناظر از مصاديق کاربرد معادلات فرکتال است. از ویژگی‌های مهم روابط فرکتالی، مستقل‌بودن کمیت‌های آن از مقیاس توزیع داده‌است. از دیدگاه ژئوشیمیایی، الگوی پراکندگی عناصر کمیاب (به‌ویژه آنهایی که در مراحل نهایی تفریق مانگان‌بلب و وجود آمده‌اند)، از نوع پواسونی (غیرخطی) با ویژگی‌های فرکتال است (Bölviken et al., 1992) با مدل‌های فرکتالی، شرایط بهتری را برای شناسایی مناطق امیدبخش معدنی به وجود آورده و مورد توجه متخصصان Carranza, 2009; Carranza et al., 2009; Carranza and Sadeghi, 2010; Afzal et al., 2011; Wang et al., 2011; Daneshvar-Saein, 2017; Hashemi-Marand et al., 2018; Abdoli-Sereshti et al., 2019; Afzal et al., 2019; Alipour-Shahsavari et al., 2020; Farahmandfar et al., 2020; Soltani et al., 2020 موقعیت دقیق فضایی نمونه‌ها با توجه به ظهور مؤلفه‌های متناظر در مکان‌های معین است که موجب تعیین حد جدايش جوامع بی‌هنجری از یکدیگر می‌شود. بنابراین بر خلاف روش‌های آماری متداول (کلاسیک)، مبنای تحلیل فرکتالی داده‌ها بر اساس اصل مشابهت‌های زایشی بوده و از تغییرات بعد فرکتال برای شناسایی و تفکیک جوامع بی‌هنجری استفاده می‌کند (Teymoorian-Motlagh et al., 2012).

کاربرد روش فرکتال در اکتشافات ژئوشیمیایی مبتنی بر شناخت توزیع‌های متناظر (خودتشابه) بوده و مقادیر زمینه، آستانه و بی‌هنجری را بر اساس تغییرات بعد فرکتال تفکیک می‌کند

1. SEDEX (Sedimentary exhalative deposits)

2. Supra-Ore Elements

3. Sub-Ore Elements

(B)، یک شبکه نمونه برداری نیمه منظم با فاصله های تقریبی ۵۰ متری طراحی شده است. طی عملیات صحرایی و با استفاده از نقشه های زمین شناسی (مقیاس ۱:۱۰۰۰۰۰ و ۱:۱۰۰۰) و توپو گرافی (۱:۲۵۰۰۰ و ۱:۱۰۰۰)، تعداد ۱۸۰ نمونه سنگی به روش لپ پری و در شعاع ۳ تا ۵ متر از آثار دگرسانی و کانی سازی برداشت شدند (شکل C-1). آنالیز نمونه ها به روش ICP-Mass و با هدف تعیین عیار عناصر فلزی و غیرفلزی توسط آزمایشگاه زرآزم، واحد کرمان انجام شده است. مطابق جدول ۱، برخی از عناصر سنسورد در بین نتایج آنالیز های دستگاهی این منطقه مشاهده می شود که دو عنصر کلسیم و لیتیم به دلیل تعداد زیاد مقادیر سنسورد از بانک داده ها حذف شدند.

همچنین تعداد ۱۵ مقطع میکروسکوپی برای بررسی های پترو گرافی و ۵ مقطع صیقلی برای بررسی های مینرالوگرافی، انتخاب و آماده سازی شدند. پس از تحلیل اولیه آماری که بر اساس رگرسیون خطی عناصر انجام شد، تعداد ۱۳ عنصر به عنوان عناصر شاخص و ردیاب منطقه کالامین انتخاب و به روش وزن گذاری در فاصله های معکوس¹ درون یابی شدند تا امکان دستیابی به کیت های مدل سازی با استفاده از بسته نرم افزاری تحلیلگر مکانی² فراهم شود. لازم به ذکر است که با توجه به بررسی های نمونه برداری منطقه کالامین، کاربرد روش IDW براوونی عناصر به عنوان مکان هندسی پیدایش عیارهای متناظر براوونی عناصر به عنوان مکان هندسی پیدایش عیارهای متناظر فراهم شده است (Mark and Aronson, 1984; Thorarinsson and Magnusson, 1990; Teymorian- Motlagh et al., 2012; Mehrnia et al., 2013).

زمین شناسی

معدن کالامین مهدی آباد یکی از قدیمی ترین معدن روی و سرب در ایران مرکزی است که در شمال غربی پیت اصلی مجتمع معدنی مهدی آباد واقع شده است (Pourfaraj, 2016). بر اساس بررسی های صحرایی و بررسی های نقشه زمین شناسی

گرمابی و آتش فشانی است (Grigoryan, 1974; Mandelbrot, 1983; Mehrnia, 2017). بنابراین، انتظار می رود که ناحیه بندی ژئوشیمیایی ذخایر بروندی از نوع خود سامانده و مبتنی بر توزیع نمایی عناصر ردیاب و شاخص باشد (Mehrnia, 2017). با توجه به ویژگی های کانسار سرب Ebrahim-Mohseni, 2011; Pourfaraj, 2016; Maghfouri, 2017 فرکتال، برای تعیین همبستگی عناصر اولویت داشته و در نگاه کلی، برای اکتشاف کانسارهای رسوبی- بروندی ایران مرکزی ضرورت دارد. بررسی شواهد زمین شناسی و رخساره معدنی کالامین (بخش غیر سولفیدی کانسار مهدی آباد)، نشان دهنده وجود کانی سازی سوپرژن در بخش بالایی یک حوضه رسوبی- آتش فشانی است که در خلال رویدادهای بروندی موجب پیدایش آثار معدنی موردنظر شده است. تنوع هاله های ژئوشیمیایی و تمايل به توزیع پواسونی در عناصر شاخص و ردیاب معدن کالامین، استفاده از معادلات فرکتالی را برای تعیین رابطه بین عناصر و در که بهتر ناحیه بندی ژئوشیمیایی این منطقه توجیه می کند. در این پژوهش، با استفاده از معادله پراش- مسافت (الگوریتم واریوفرکتالی)، امکان شناسایی سطح توزیع براوونی عناصر به عنوان مکان هندسی پیدایش عیارهای متناظر فراهم شده است (Mark and Aronson, 1984; Thorarinsson and Magnusson, 1990; Teymorian- Motlagh et al., 2012; Mehrnia et al., 2013).

روش انجام پژوهش

از سوابق پژوهشی و اکتشافی مجتمع معدنی مهدی آباد یزد (مشتمل بر مقالات، پایان نامه ها و گزارش های مصوب) (شکل A-۱) برای انجام این پژوهش استفاده شده است. این سوابق شامل نتایج بررسی سیالات در گیر، زمین شناسی اقتصادی و زمین ساخت منطقه مورد بررسی و بیانگر منشأ بروندی کانسار است. برای تعیین اولویت های اکتشافی معدن کالامین (شکل ۱-

1. IDW (Inverse Distance Weighting)

2. Spatial Analyst

آهک‌های دولومیتی، سیلیسیتون و آهک‌های مارنی (سبز تا خاکستری متامایل به سبز) به همراه میان‌لایه‌هایی از سنگ آهک است که در جنوب‌باختری منطقه و در بخش‌های کم ارتفاع رخمنون دارند. چنانچه ملاحظه می‌شود، مرز شمال خاوری این واحد با سازند آبکوه گسله است. واحد‌های کواترنری منطقه نیز اغلب شامل پادگانه‌های آبرفتی جوان، رسوبات آبراهه‌ای و واریزه‌های حاصل از معدن کاری است.

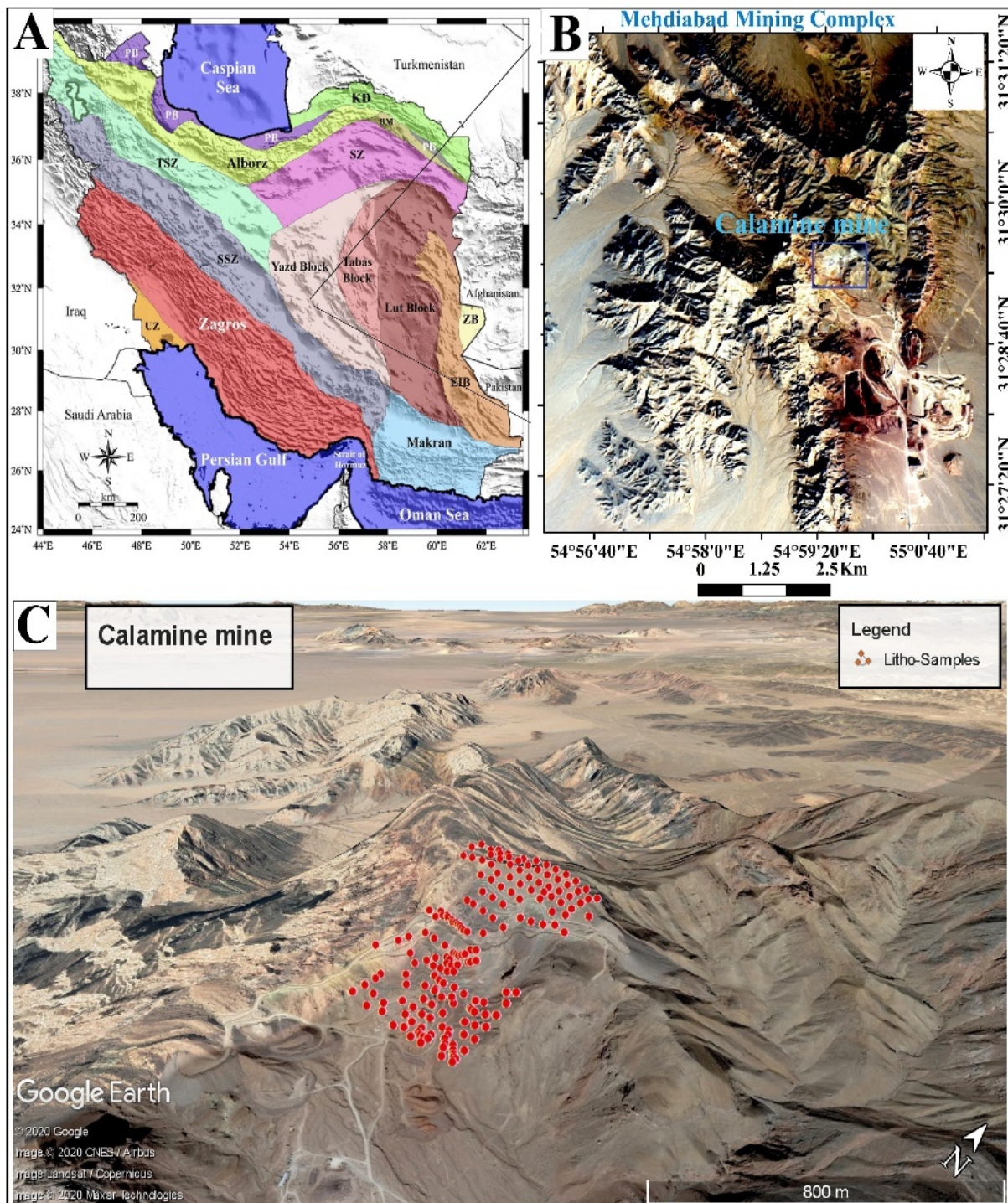
(Koosha Mining Company, 2018) ۱:۱۰۰۰ رخمنون‌های سنگی منطقه شامل سازندهای رسوبی کرتاسه زیرین، عدسی‌های کانی‌سازی کالامین و رسوبات عهد حاضر است (شکل ۲). کرتاسه زیرین شامل دو سازند سنگستان و آبکوه است که توسط گسل بزرگ تپه‌سیاه^۱ جدا شده‌اند (Pourfaraj, 2016). مطابق شکل ۳، سازند سنگستان (K_s^{Sh}) و K_s^1 مشتمل از لایه‌های کم ضخامت شیل، ماسه‌سنگ،

جدول ۱. عناصر سنسورده و مقادیر جایگزین آنها در بانک اطلاعات ژئوشیمیابی معدن کالامین (ppm)

Table 1. The censored elements and their alternative values in the geochemical database of the calamine mine (ppm)

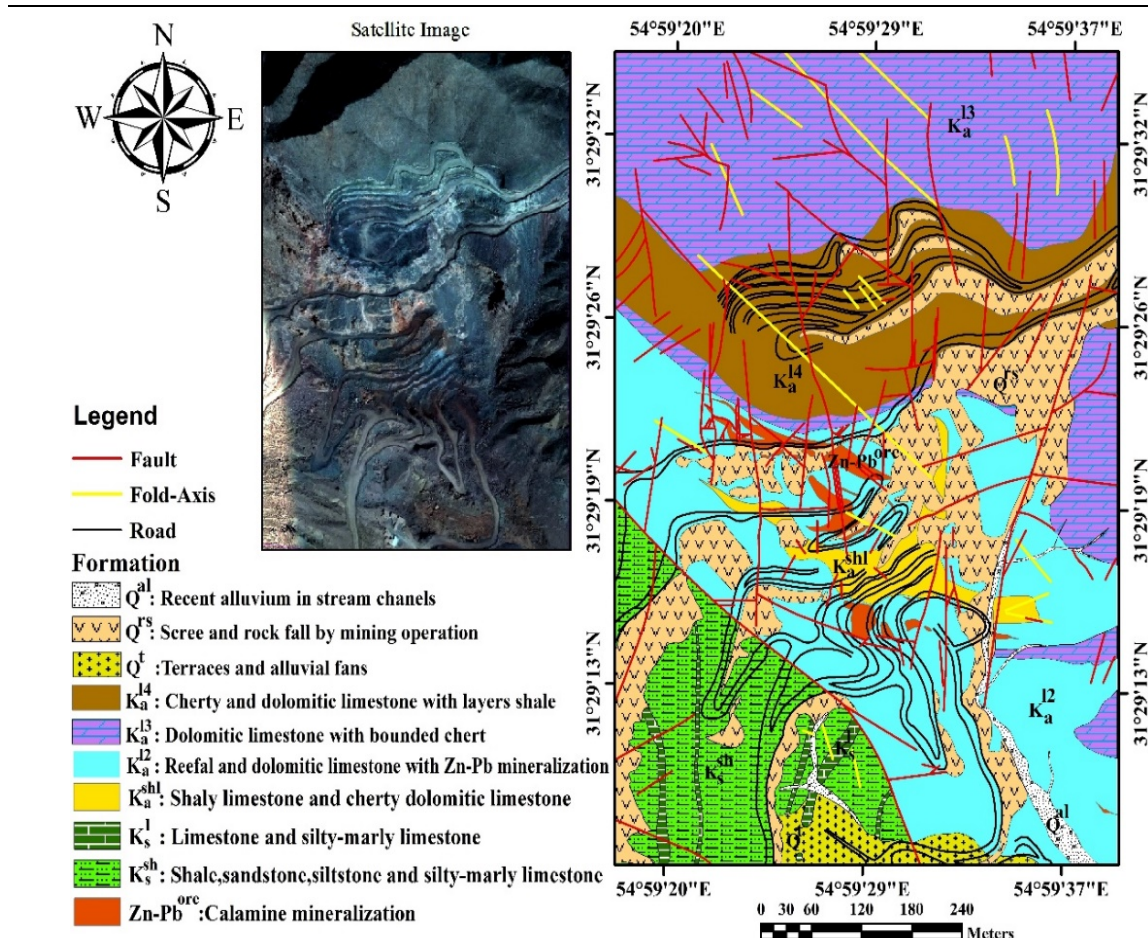
Element	Discrimination Limit	Replacement Value	Number of Censored Data	Censored Data Percentage
Ag	<0.1	0.075	2	1.1%
As	>1%	13300	1	0.6%
Ba	>1%	13300	1	0.6%
Be	<0.2	0.15	5	2.8%
Ca	>10%	133333	163	90.6%
Ce	<1	0.75	27	15.0%
Co	<1	0.75	19	10.6%
Cr	<1	0.75	11	6.1%
Cu	<1	0.75	1	0.6%
Fe	>10%	133333	7	3.9%
Li	<1	0.75	159	88.3%
Mg	>2%	26667	8	4.4%
Pb	>3%	40000	3	1.7%
S	>3%	40000	4	2.2%
Sb	>0.01%	133	17	9.4%
Sc	<0.5	0.375	5	2.8%
Y	<0.5	0.375	1	0.6%
Yb	<0.2	0.15	1	0.6%
Zn	>3%	40000	30	16.7%

1. Black-Hill



شکل ۱. A: نمایی از موقعیت مجتمع معدنی مهدی‌آباد بزد بر روی نقشه ساختاری ایران، B: نمایی از مجتمع معدنی مهدی‌آباد بزد و C: موقعیت نقاط نمونه‌های سنگی برداشت شده از معدن کalamین

Fig. 1. A: View of Mahdiabad Mining Complex in Yazd on structural map of Iran, B: Calamine Mehdiabad mine, and C: Location of rock samples taken from Calamine mine



شکل ۲. نقشه زمین‌شناسی ۱:۱۰۰۰ معدن کالامین، تهیه شده توسط شرکت کوشما معدن (Koosha Mining Company, 2018)

Fig. 2. Geological map 1:1000 Calamine mine prepared by Koosha Mining Company (2018)



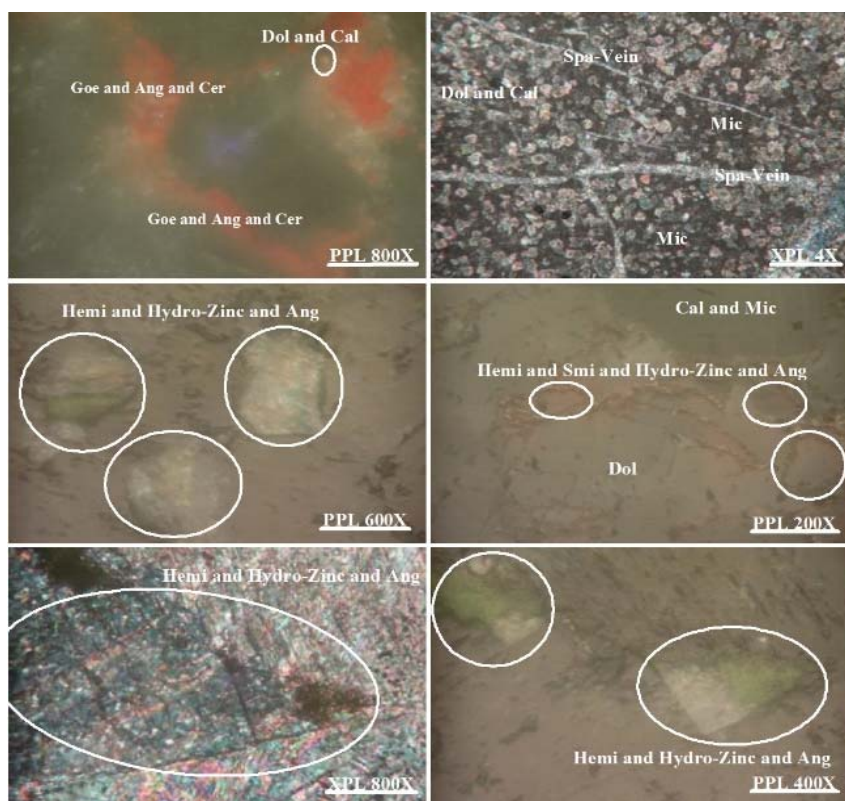
شکل ۳. تصویر پانوراما از مرز گسله سازندهای سنگستان و آبکوه (دید به سمت جنوب خاوری منطقه)

Fig. 3. Panorama image of the fault boundary of Sangestan and Abkuh Formations (view to the southeast of the area)

است. علاوه بر کانی سازی غیرسولفیدی روی، آثار شکل‌گیری و تجمع ژپس مشاهده می‌شود. برخی از واحدهای سازند آبکوه تحت تأثیر فشارهای زمین ساختی گسلیده شده و در بخش‌های چین خورده‌اند. شکل ۴، مقاطع میکروسکوپی منسوب به واحد K_a^{12} را نشان داده است.

سازند مینرالیزه آبکوه

آبکوه مهم‌ترین سازند مینرالیزه در محدوده معدن کالامین است (حاوی کانی سازی غیرسولفیدی، رخساره کالامین). واحد K_a^{12} اصلی‌ترین واحد سازند آبکوه است که مشکل از سنگ آهک، آهک دولومیتی متوسط تا ضخیم‌لایه، توده‌های ستیغ‌ساز و بهشت کارستیک بوده و مشخص به کانی سازی کالامین



شکل ۴. تصاویر میکروسکوپی از انواع کانه‌های اولیه و ثانویه واحد K_a^{12} کانسار روی کالامین مهدی‌آباد بزد (در نور PPL، XPL). حفره‌ها و رگچه‌های پر شده از کلسیت اسپاری و رگچه‌های کلسیتی در زمینه سنگ آهک دولومیتی میکریتی. علائم اختصاری کانی‌ها بر اساس ویتنی و اوائز (Whitney and Evans, 2010) اقتباس شده است (Goe: گوتیت، Ang: آنگلزیت، Cer: سروزیت، Mic: میکرایت، Spa-Vein: Sparite Veinlets، Dol: دولومیت، Cal: کلسیت، Hemi: همی‌مورفیت، Hydro-Zinc: هیدروزینکیت، Smi: اسمیت‌زوینیت).

Fig. 4. Photomicrographs of primary and secondary ores of K_a^{12} unit on calamine of Mehdiabad, Yazd (XPL, PPL). Voids and veinlets filled with sparry calcite and calcite veinlets in the matrix of micritic dolomite limestone. Abbreviations after Whitney and Evans (2010) (Goe: Goethite, Ang: Anglesite, Cer: Cerussite, Mic: Micrite, Spa-Vein: Sparite Veinlets, Dol: Dolomite, Cal: Calcite, Hemi: Hemimorphite, Hydro-Zinc: Hydrozincite, Smi: Smithsonite)

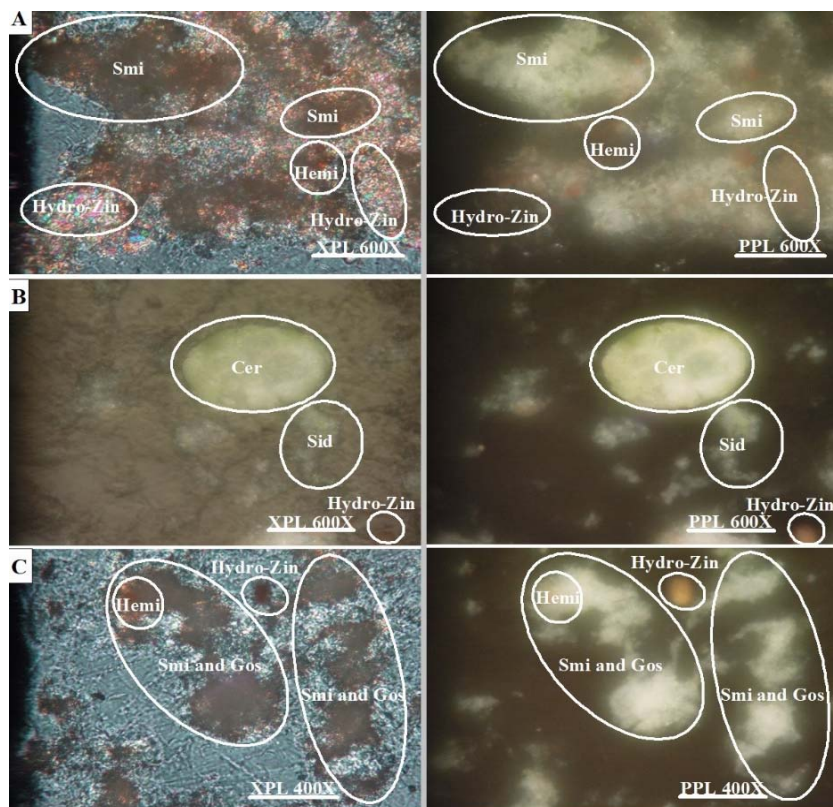
(هیدروزینکیت، اسمیت‌زوینیت، همی‌مورفیت) و سرب (سروزیت، آنگلزیت) است. رخساره کالامینی منطقه اغلب با

کانی سازی

کانی سازی معدن کالامین شامل کانی‌های زون اکسیدان روی

ساختارهای زمین‌ساختی منطقه نظیر گسل‌ها و شکستگی‌ها پیروی می‌کند. معدن کالامین توسط دو گسل تپه‌سیاه (از سمت باختر) و شمال فروزنده (از سمت خاور) محدودشده است (Reichert et al., 2003). در شکل A-۵، C و B، میکروگرافی برخی از آثار کلنله‌زایی معدن کالامین معرفی شده است.

اکسیدها و هیدروکسیدهای آهن و منگنز و به ندرت با کانی‌های سولفیدی روی و سرب مشاهده می‌شود. واحد میترالیزه منطقه شامل ۳ عدسی اصلی و تعدادی عدسی‌های فرعی و رگه‌های کوچک‌تر است. اغلب عدسی‌ها و رگه‌ها در بخش مرکزی معدن کالامین با عنوان ($Zn-Pb^{ore}$) قرار داشته و محدود به واحد ریفی-کارستی K_a^{12} هستند (شکل ۲). امتداد کانی‌سازی‌ها در جهت شمال‌باختری-جنوب‌خاوری است و این روند از



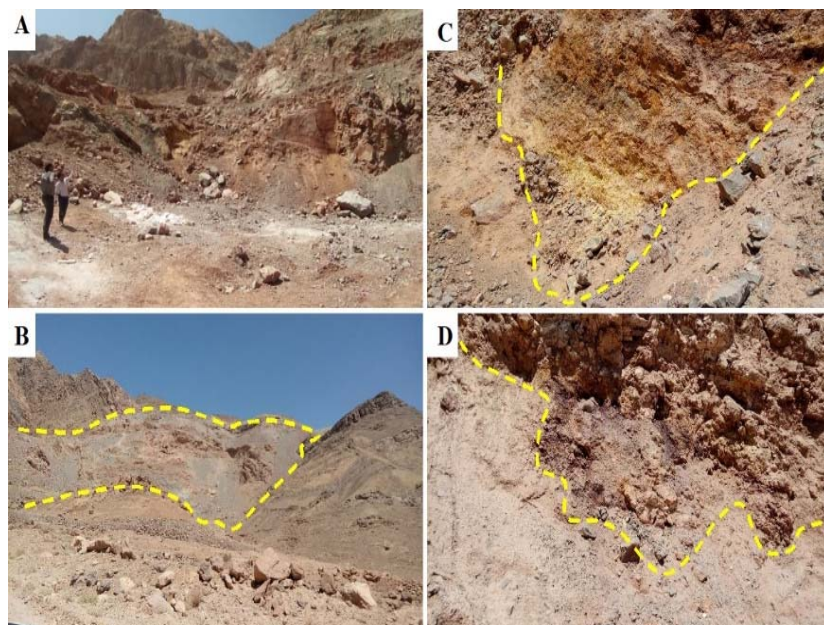
شکل ۵. تصاویر میکروسکوپی از انواع کانه‌های اولیه و ثانویه کانسار روی کالامین مهدی‌آباد یزد (در نور پردازی اسمیت‌زونیت با رنگ تداخلی سفید و هیدروزینکیت با چندرنگی متمایل به قرمز، B: کانی سروزیت با انعکاس دوگانه و با رنگ تداخلی سفید شیری به صورت جانشینی در قالب کانی گالن که تنها اثراتی از کانی اولیه باقی‌مانده است و C: هم‌رشدی کانی‌های روی شامیت‌زونیت، سولفات و سیلیکات به همراه هیدروزینکیت و گوسلاریت با بافت کلوئیدی. علامت اختصاری کانی‌ها بر اساس ویتنی و اوونز (Whitney and Evans, 2010) اقتباس شده است (Smi: اسمیت‌زونیت، Hemi: هم‌رشدی، Cer: هیدروزینکیت، Sid: سروزیت، Gos: گوسلاریت).

Fig. 5. Photomicrographs of primary and secondary ores on calamine of Mehdiabad, Yazd (XPL, PPL). A: Smithsonite intergrowth with white interference color and Hydrozincite with pleochroic reddish, B: Cerussite mineral with bireflectance and with the milky white interference color as a replacement in the form of Galena mineral, the only traces of the original mineral residue, and C: Zinc minerals intergrowth includes smithsonite, sulfide and silicate with hydrozincite and goslarite with colloidal texture. Abbreviations after Whitney and Evans (2010) (Smi: Smithsonite, Hemi: Hemimorphite, Hydro-Zinc: Hydrozincite, Cer: Cerussite, Sid: Siderite, Gos: Goslarite).

۵ گرسانی

ایجاد حفره های کارستی و پیدایش غارها در سازندگان آبکوه به علت فرایند دولومیتی شدن بوده است (Maghfouri, 2017). همچنین به دلیل عبور آب های جوی از درون دولومیت های آنکریتی، منطقه ای غنی از آهن به نزدیکی قهوة ای متمثلاً به زرد (تا قهوة ای تیره و قرمز) به وجود آمده است. دگرسانی اکسید آهن شامل کانی های سیدریت، گوئیت، هماتیت و لیمونیت بوده و در بخش های وسیعی از معدن کالامین مشاهده می شود.

در کانسار کالامین مهدی آباد، سنگ میزبان از نوع کربناته بوده و سیالات کانی ساز تحت شرایط دمای پایین به وجود آمده اند (Ebrahim-Mohseni, 2011). بنابراین مناطق دگرسانی این کانسار وسعت زیادی ندارند. طبق شکل ۶، رخمنون های دگرسانی های این کانسار شامل پدیده دولومیتی شدن، سلیسی شدن و پیدایش اکسیدها و هیدروکسید های آهن است.



شکل ۶. A: دومین عدسی معدن کالامین و آثاری از دگرسانی های اکسید و هیدروکسید آهن، B: نمایی از واحد سنگی دولومیتی شده در معدن کالامین، C و D: آثاری از دگرسانی ها و تنها مناطق سولفوره باقیمانده در دومین لنز معدن کالامین

Fig. 6. A: The second lens of calamine mine and traces of oxide and iron hydroxide alterations, B: View of a dolomitisation rock unit in the calamine mine, C and D: Remains of alterations and the only sulphide areas left in the second lens of calamine mine

فرمولاسیون و بررسی های GIS، برای بررسی تغییرات لوح سنگی میدان نفتی چارک به کار رفته است (Mehrnia et al., 2013). مدل پراش-مسافت یکی از توابع کمتر شناخته شده در آمار فرکتال است که ضابطه نمایی آن (رابطه ۱)، بر حسب برد تصادفی پراش داده ها Vx ، قلمرو مسافت اثر پراش Dvx و توان

معرفی مدل پراش-مسافت و کاربرد آن در تحلیل داده های ژئوشیمیایی معدن کالامین
اولین کاربرد مدل پراش-مسافت^۱ در اکتشافاتمعدنی، بر اساس رابطه نمایی پراش میدان گرانی در مقابل مسافت اثر پراش بوده است (Mark and Aronson, 1984) که پس از بازبینی،

1. Variance-Distance (V-D)

درونزاد مشاهده و موجب تمايز آنها از پدیده‌های غیرطبیعی می‌شود (Mandelbrot, 1983).تابع پراش-مسافت، نوعی از تابع نمایی با ضابطه‌مندی فرکتال است که از آن برای شناسایی جوامع متناظر و ارتباط آنها با یکدیگر استفاده می‌شود. از نظر تئوری، سطح توزیع براونی^۱، مکان هندسی پیدايش توزیع‌های فرکتالی در حاشیه محیط آشوبناک است (Mehrnia et al., 2013). بعد فرکتالی که کمتر از حدود توزیع براونی باشد، یانگر رفار خطي پدیده بوده و بعد فرکتالی که از حدود توزیع براونی گذشته باشد، نشان‌دهنده آشوبناک بودن توزیع در جامعه مورد بررسی است (هر دو توزیع بدون سازوکار لازم برای شکل‌گیری ذخایر معدنی در محیط‌های ماگمایی و پسامماگمایی هستند). طبق پژوهش‌های به عمل آمده در ذخایر طلای کوئیتلند (Morison, 2003)، بافت کانی‌های سیلیس بهویژه در مناطقی که نسبت به طلا، سرب و برخی از عناصر فلزی غنی شده‌اند، دارای ناحیه‌بندی منظم و خودسازمان یافته است که به‌طور مشخص در کوارتزهای کلوفرمی-کراتستیفرمی مشاهده می‌شود. از دیدگاه فرکتالی، مکان هندسی ظهور بافت کلوفرمی با افزایش بعد فرکتال در سطح توزیع سیلیکا ارتباط داشته و در $FD=2$ ، شاهد بیشترین تغییرات بافتی غنی از عناصر فلزی هستیم (Akbari and Mehrnia, 2013). روش پراش-مسافت، علاوه بر تعیین حدود بی‌هنگاری عناصر شاخص^۲ و ردیاب^۳، موجب شناسایی و تفکیک سطح توزیع براونی عناصر می‌شود که ملاک جدیدی برای تشخیص همیافتنی عناصر در روش‌های غیرخطی است.

تحلیل داده‌ها

با توجه به ماهیت روش‌های غیرخطی و مستقل بودن تغییرات بعد فرکتال از شاخص‌های مرکزی و پراکندگی، کلیه پردازش‌های به عمل آمده در این پژوهش بر روی داده‌های خام انجام شده است. بر این اساس، تعداد ۱۸۰ نمونه سنگی از چهارگوشه معدنی کالامین برداشت و با هدف پیش‌داوری و تعیین

FD بیان می‌شود:

رابطه ۱:

$$Vx = Dvx^{FD}$$

برای تبدیل ضابطه نمایی (۱) به تابع خط فرکتال، از طرفین آن لگاریتم گرفته شد (رابطه ۲):

رابطه ۲:

$$\log(Vx) = FD \log(Dvx)$$

در رابطه اخیر، منظور از جملات $\log(Dvx)$ و $\log(Vx)$ به ترتیب لگاریتم‌های پراش و مسافت اثر پراش داده‌ها و FD، بعد فرکتال^۱ است. در عمل برای نشان‌دادن تابع چگالی هر توزیع، از نموداری استفاده می‌شود که محور طولی آن، نشان‌دهنده تغییرات Vx و محور عرضی آن، نشان‌دهنده تغییرات Dvx است. در سال‌های اخیر، زمان و دقت دستیابی به مدل پراش-Spatial Analyst از بهره‌گیری از بسته نرم‌افزاری Teymoorian-Motlagh et al., 2012 بهبود یافته است (Teymoorian-Motlagh et al., 2012).

روش ارائه‌شده در این پژوهش مبتنی بر استاندارد ArcGIS بوده و از سایر نرم‌افزارها (Excel and Surfer) برای تکمیل و ارائه نمودارهای مورد نیاز استفاده شده است. از دیدگاه ریاضی، رابطه ۲ بیان‌گر یک تابع نمایی در مختصات لگاریتمی است که تغییرات پراش داده‌ها را بر حسب تغییرات مسافت اثر پراش بیان می‌کند (Thorarinsson and Magnusson, 1990). کمیت‌های به کار رفته در این تابع با مشابهت دارند؛ بنابراین، نقش تغییرات بعد فرکتال در دستیابی به سطح توزیع مؤلفه‌های متناظر (سطح توزیع براونی)، به مانند دستیابی به دامنه تغییرات داده‌ها در روش واریوگرافی (زمین‌آمار) تمايز این دو روش در شناخت فرایند خودساماندهی^۴ اجزای متناظر با منشأ طبیعی است که به‌طور مشخص بر اساس تغییرات بعد فرکتال تعیین می‌شود و امکان تحلیل و تدقیق آن در مدل‌های زمین‌آماری وجود ندارد (Chen et al., 2016). طبق تعریف، خودساماندهی، سازوکاری طبیعی در خلال توزیع کمیت‌های متناظر و متعدد است که اغلب در رویدادهای

1. Fractal Dimension

4. Indicator

2. Fractal Dimension

5. Pathfinder

3. Self-Organizing

پواسونی نمونه‌های سنگی صورت گرفته است. با توجه به جدول ۲، ۱۱ عنصر دارای همبستگی نسبی با تغییرات عیار سرب و روی منطقه کالامین هستند. لذا از ۱۳ عنصر ردياب و شاخص برای تحلیل‌های واریوفرکتالی و تولید نقشه پیش‌داوری استفاده شده است.

اولویت‌های اکتشافی آن، بررسی شده‌اند. انتخاب عناصر شاخص و ردياب اين پژوهش در درجه اول مبتنی بر ماهیت ذخایر بروندی بوده (Grigoryan, 1974; Hassani-Pak, 2012) و در پی آن، بر اساس سوابق اکتشافی معدن کالامین Ebrahim-Mohseni, 2011; Pourfaraj, 2016; Maghfouri, 2017) و محاسبه ضرایب رگرسیون و توزیع

جدول ۲. ضریب همبستگی و احتمال توزیع پواسونی عناصر شاخص و ردياب معدن کالامین (λ_0 : میانگین مورد انتظار؛ λ_1 : زمینه؛ λ_2 : آنومالی‌ها)

Table 2. The correlation coefficient and Possibility of Poisson distribution indicator and pathfinder elements calamine mine (λ_0 : Expected Mean; λ_1 : background; λ_2 : anomalies)

	Supra-ore Elements						Redox Elements				Sub-ore Elements			
	Pb	Zn	Ag	Sb	As	Ba	Fe	S	Cd	Cu	Ni	Co	Cr	
Correlation Coef.	Pb	1.00	0.57	0.57	0.81	0.39	0.24	0.79	0.41	0.54	0.06	0.31	0.19	0.12
	Zn	0.57	1.00	0.22	0.75	0.55	0.42	0.65	0.35	0.66	0.02	0.62	0.38	0.11
Poisson Dist. Coef.	λ_1	0.30	0.38	0.74	0.38	0.45	0.44	0.40	0.40	0.30	0.53	0.55	0.65	0.53
	λ_2	0.35	0.73	0.29	0.51	0.60	0.45	0.42	0.30	0.37	0.31	0.41	0.53	0.37

نقاط نمونه‌برداری در پیمایش‌های نیمه‌منظم (و غیرمنظم) است. همچنین، با توجه به تغییرات ضریب پواسونی عناصر (تابع چگالی احتمال رویداد تصادفی جزئی)، لازم است تا نتایج جدول ۲، به روش غیرخطی بازبینی شوند که برای این منظور از تغییرات بعد فرکتالی برای تشخیص سطح توزیع برآونی به عنوان ملاکی برای تعیین عناصر ردياب متناظر استفاده شده است. تابع پراش-مسافت (رابطه ۲)، ضمن رعایت معیارهای زمین‌آماری، امکان شناسایی سطح توزیع برآونی عناصر را فراهم می‌کند (Mehrnia et al., 2013). این سطح بیانگر مکان هندسی عیارهای متناظر بوده و فقط تابع تغییرات بعد در بازه $3 < FD <$ ۲ بوده و مستقل از مقیاس برداشت‌های ژئوشیمیایی است (Afzal et al., 2019).

مشاهده سطح توزیع برآونی، نشانه وجود عیارهای متناظر در

با توجه به مطلب جدول ۲، چهار عنصر آنتیموان، آهن، روی، نقره و کادمیم از همبستگی معنادار با سرب برخوردارند. همچنین همبستگی روی با شش عنصر آنتیموان، کادمیم، آهن، نیکل، سرب و آرسنیک قابل توجه و معنادار است. بنابراین، در مدلی که بر اساس تغییرات کوواریانس و انحراف معیار داده‌ها ارائه می‌شود (مدل ضریب رگرسیون)، ارتباط سرب و روی با عناصر موجود در هاله لیتوژئوشیمیایی معدن کالامین از نوع خطی و متناسب با تغییرات عیار آرسنیک، آنتیموان و آهن (برای رديابی سرب) و تغییرات عیار آنتیموان، کادمیم، آهن و نیکل (برای رديابی روی) است. با فرض آنکه افزایش ضریب همبستگی نشانه همیافتد دو عنصر در حین رویداد کانی‌زایی باشد، احتمال خطای نوع اول در ارزیابی استعداد معدنی کالامین افزایش می‌یابد که به دلیل وابستگی نتایج رگرسیون به موقعیت

نشان می‌دهد.

آنتیموان: طبق جدول ۳، سطح براونی آنتیموان ($FD=2/63$) متناسب با تغییرات عیار ۲۶۷ تا ۲۱۶۹ گرم بر تن و در فاصله‌های ۳۷ تا ۶۵ متر از مرکز بی‌هنجری بیشینه (۱۲۸ گرم بر تن) مشاهده می‌شود. با توجه به وضعیت تابع چگالی و تغییرات تدریجی بعد فرکتال (شکل ۷)، توزیع سطحی این عنصر از سازوکار غیرخطی با سطح براونی منتهی به جامعه بی‌هنجری برخوردار است که نشانه منشأ درونزاد و ارتباط زیشی آن با سایر عناصر فوق کانساری در منطقه مورد بررسی است.

نقره: طبق جدول ۳، سطح براونی نقره ($FD=2/02$) متناسب با تغییرات عیار ۵۰۸ تا ۱۰۶۲ گرم بر تن و در فاصله‌های ۱۵ تا ۱۷ متر از مرکز بی‌هنجری بیشینه (۶۳/۵ گرم بر تن) مشاهده می‌شود. با توجه به وضعیت تابع چگالی و تغییرات ناگهانی بعد فرکتال (شکل ۷)، توزیع سطحی این عنصر از سازوکار غیرخطی با سطح براونی محدود به جامعه آستانه برخوردار است که در مقایسه با سرب و آنتیموان، قابلیت کمتری برای رديابی عناصر فوق کانساری دارد.

مس: طبق جدول ۳، سطح براونی مس ($FD=2/14$) متناسب با تغییرات عیار ۸۱ تا ۱۱۱ گرم بر تن و در فاصله‌های ۱۹ تا ۲۹ متر از مرکز بی‌هنجری بیشینه (۱۲۸ گرم بر تن) مشاهده می‌شود. با توجه به وضعیت تابع چگالی و تغییرات نسبی-تدریجی بعد فرکتال (شکل ۸)، توزیع سطحی این عنصر از سازوکار غیرخطی با سطح براونی منتهی به جامعه بی‌هنجری برخوردار است که معیار خوبی برای رديابی عناصر میان کانساری در منطقه مورد بررسی است.

کبالت: طبق جدول ۳، سطح براونی کبالت ($FD=2/05$) متناسب با تغییرات عیار ۱۱ تا ۱۶ گرم بر تن و در فاصله‌های ۲۳ تا ۳۲ متر از مرکز بی‌هنجری بیشینه (۲۱ گرم بر تن) مشاهده می‌شود. با توجه به وضعیت تابع چگالی و تغییرات ناگهانی بعد فرکتال (شکل ۸)، توزیع سطحی این عنصر از سازوکار غیرخطی با سطح براونی محدود به جامعه آستانه برخوردار است که معیار خوبی برای رديابی عناصر تحت کانساری قلمداد می‌شود.

مرحله یا بخش معینی از فرایند کانه‌زایی است. در کانسارهای بروندمی و اغلب ذخایر ماگمایی-گرمابی، پیدایش سطح براونی همراه با تغییرات بافتی و کانیایی کانسار بوده و در اغلب موارد موجب تشدید آثار دگرسانی می‌شود. در چنین سطحی، شاهد همیافته برخی از عناصر شاخص و ردياب هستیم. مقایسه تغییرات ضریب رگرسیون (جدول ۲) با سطوح توزیع براونی (جدول‌های ۳، ۴، ۵ و ۶)، بیانگر آن است که این سطوح از قابلیت بیشتری برای تحلیل جزء به جزء تغییرات عیار برخوردارند.

چنانچه در بررسی تابع چگالی دو عنصر، از معادله پراش-مسافت استفاده شود (یعنی فاصله‌های D_{VX} در ناحیه پراش X محاسبه شود و روی نمودارهای تمام لگاریتمی ترسیم شود)، پس از تعیین سطوح براونی، امکان دستیابی به نقشه پیش‌داوری جدیدی فراهم می‌شود که از آن برای تعیین روابط مکانی-زیشی عناصر و درج اولویت‌های اکتشافی مناطق امیدبخش معدنی استفاده می‌شود.

مدل پراش-مسافت معدن کالامین

الف) فلزات با سطح توزیع براونی مطلوب

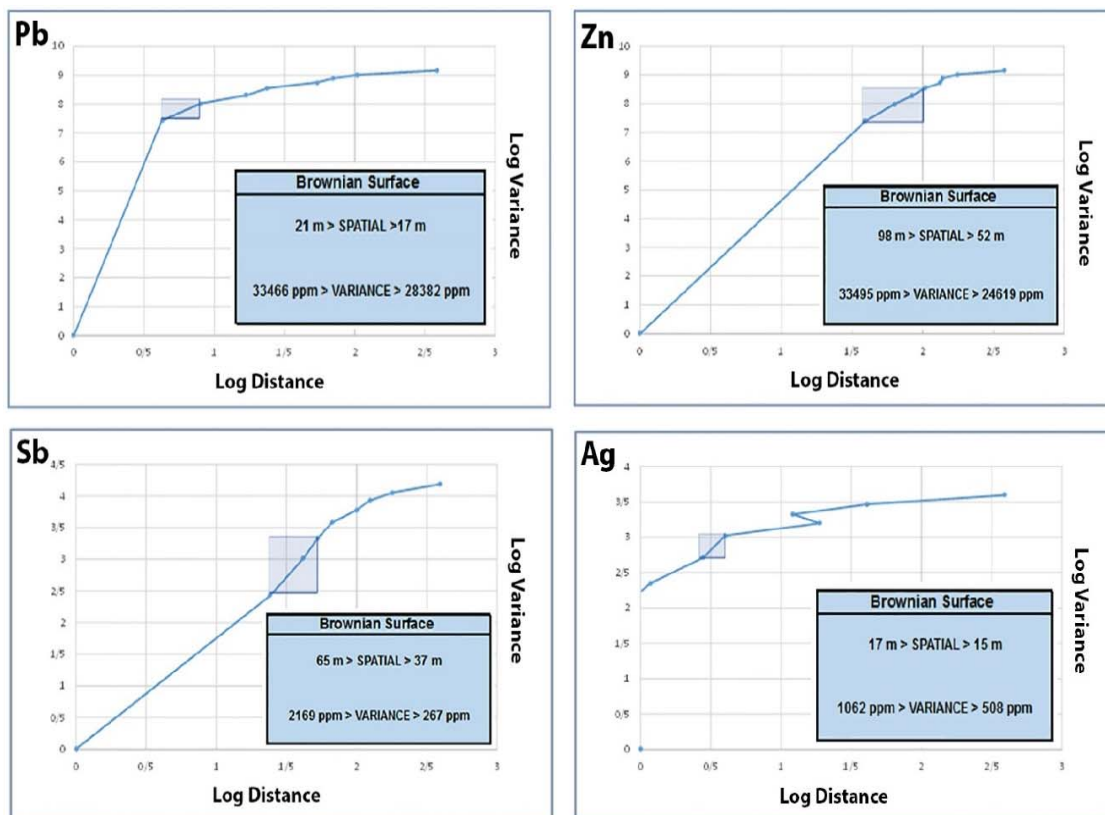
سرب: مطابق جدول ۳، سطح براونی سرب ($FD=2/14$) متناسب با تغییرات عیار ۲۸۳۸۲ تا ۳۳۴۶۶ گرم بر تن و در فاصله‌های ۱۷ تا ۲۱ متر از مرکز بی‌هنجری بیشینه (۳۸۶۵۷ گرم بر تن) مشاهده می‌شود. با توجه به وضعیت تابع چگالی و تغییرات تدریجی بعد فرکتال (شکل ۷)، توزیع سطحی این عنصر از سازوکار غیرخطی برخوردار است که منشأ درونزاد این عنصر را تأیید می‌کند.

روی: طبق جدول ۳، سطح براونی روی ($FD=2/68$) متناسب با تغییرات عیار ۲۴۶۱۹ تا ۳۳۴۹۵ گرم بر تن و در فاصله‌های ۵۲ تا ۹۸ متر از مرکز بی‌هنجری بیشینه (۳۸۴۸۰ گرم بر تن) مشاهده می‌شود. با توجه به وضعیت تابع چگالی و تغییرات تدریجی بعد فرکتال (شکل ۷)، توزیع سطحی این عنصر از سازوکار غیرخطی با سطح براونی منتهی به جامعه بی‌هنجری برخوردار است که معیار خوبی برای بی‌جوبی این عنصر بوده و منشأ درونزاد آن

جدول ۳. مدل پراش- مسافت برای فلزات با سطح توزيع براونی مطلوب در معدن کالامین مهدی آباد یزد (FD: بعد فرکتال، BS: سطح توزيع براونی، پراش عیار، D: مسافت اثر پراش عیار، Dn-Dmin: تفاضل مسافت اثر پراش ها، Cum Area: توزع تجمعی، Var: عیار بر حسب پی ام، Slope: شبیه خط)

Table 3. Variance-Distance model for metals with Real BSs on calamine of Mehdiabad, Yazd (FD: Fractal Dimension, BS: Brownian Surface, Var: Variance, D: Distance (m), Dn-Dmin: Differential Distance (m), Cum Area: Cumulative Area, Grade: ppm, Slope: line slope)

Elements	Cum Area	D (m)	Dn-Dmin	Grade (ppm)	Var	Log (Dn-Dmin)	Log (Var)	Slope	FD	BS
Pb	1375	20.93	8.00	28382.43	105578715.74	0.90	8.02	2.15	2.15	Real
	925	17.16	4.233	33466.10	26951468.74	0.63	7.43			
Zn	30225	98.11	85.18	24619.84	192125751.94	1.93	8.28	2.29		
	18025	75.77	62.84	28698.96	95684086.64	1.80	7.98	2.90	2.68	Real
	8625	52.41	39.48	33495.98	24848277.90	1.60	7.40			
Sb	13550	65.69	52.76	81.52	2169.24	1.72	3.34	3.18		
	9425	54.79	41.86	95.85	1039.62	1.62	3.02	2.46	2.63	Real
	4300	37.01	24.08	111.76	266.84	1.38	2.43	1.76		
Ag	900	16.93	4.00	30.96	1062.94	0.60	3.03	2.03	2.03	Real
	350	15.71	2.78	41.01	508.62	0.44	2.71	0.95		
Cu	2700	29.32	16.39	79.0651	2236.33	1.21	3.35	2.27		
	1800	23.94	11.01	98.2484	906.41	1.04	2.96	2.06	2.14	Real
	1175	19.34	6.41	115.1245	296.89	0.81	2.47	3.06		
Co	3300	32.42	19.49	11.33	97.24	1.29	1.99	1.91		
	2350	27.36	14.43	13.80	54.67	1.16	1.74	2.17	2.05	Real
	1700	23.27	10.34	16.04	26.52	1.01	1.42	2.44		
Ni	1025	18.07	5.14	55.09	1021.90	0.71	3.01	1.66		
	825	16.21	3.28	65.05	484.46	0.52	2.69	2.05	2.31	Real
	675	14.66	1.73	76.47	112.02	0.24	2.05			
Cr	52575	129.40	129.40	21.08	861.56	2.11	2.94	1.08	2.69	Real
	22550	84.74	71.81	32.68	315.01	1.86	2.50	2.63		
	14450	67.84	54.91	37.95	155.64	1.74	2.19	1.70		



شکل ۷. تابع چگالی پراش- مسافت برای عناصر ردیاب معدن کالامین. سطوح آبی از نوع براونی هستند.

Fig. 7. V-D density function for pathfinder elements of Calamine. Blue indicates real BS.

غیرخطی با دو سطح براونی منتهی به آستانه ناحیه‌ای و محلی برخوردار است که معیار خوبی برای ردیابی سایر عناصر تحت کانساری محاسبه شود؛ اما به دلیل عدم تطابق هندسی با سطح براونی سایر عناصر، در اولویت منطقه قرار نمی‌گیرد.

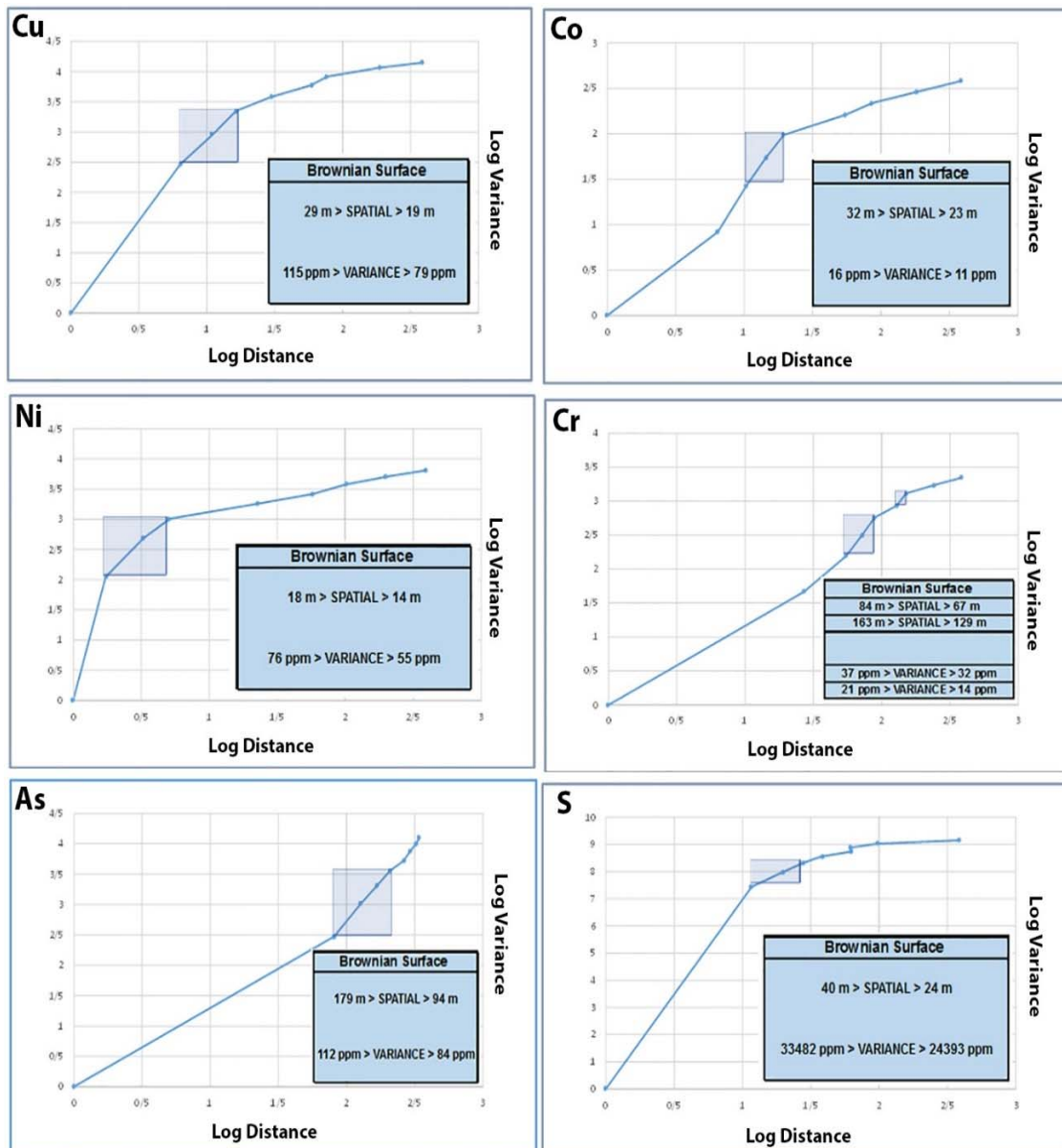
(ب) غیرفلزات با سطح توزیع براونی مطلوب
آرسنیک: طبق جدول ۴، سطح براونی آرسنیک ($FD=2/63$) متناسب با تغییرات عیار ۸۴ تا ۱۱۲ گرم بر تن و در فاصله‌های ۹۴ تا ۱۷۹ متر از مرکز بی‌هنجری بیشینه (۱۲۹ گرم بر تن) مشاهده شود. با توجه به وضعیت تابع چگالی و تغییرات بعد فرکتال (شکل ۸)، توزیع سطحی این عنصر دارای روند غیرخطی بوده و پیوستگی اجزای متناظر از حدود زمینه تا بی‌هنجری مشاهده

نمیکل: طبق جدول ۳، سطح براونی نیکل ($FD=2/05$) متناسب با تغییرات عیار ۵۵ تا ۷۶ گرم بر تن و در فاصله‌های ۱۴ تا ۱۸ متر از مرکز بی‌هنجری بیشینه (۸۷ گرم بر تن) است. با توجه به وضعیت تابع چگالی و تغییرات پلکانی بعد فرکتال (شکل ۸)، توزیع سطحی این عنصر از سازوکار غیرخطی با سطح براونی منتهی به جامعه بی‌هنجری برخوردار است که معیار مطلوبی برای ردیابی عناصر تحت کانساری است.

کروم: طبق جدول ۳، سطح براونی کروم ($FD=2/70$) متناسب با تغییرات عیار ۲۱ تا ۳۷ گرم بر تن و در فواصل ۶۷ تا ۱۲۹ متر از مرکز بی‌هنجری بیشینه (۵۰ گرم بر تن) مشاهده می‌شود. با توجه به وضعیت تابع چگالی و تغییرات دو فازی بعد فرکتال (شکل ۸)، توزیع سطحی این عنصر از سازوکار

بر تن) قرار دارد. با توجه به وضعیت تابع چگالی و تغییرات بعد فرکتال (شکل ۸)، توزیع سطحی این عنصر دارای روند غیرخطی و منتهی به جامعه بی‌هنجاری بوده و به طور محلی، برخی از ردیاب‌های ژئوشیمیایی کالامین را همراهی می‌کند (حاکمیت شرایط احیایی).

می‌شود. بنابراین آرسنیک عنصر پیش قرار اول منطقه معدنی کالامین بوده و از قابلیت ردیابی سایر عناصر برخوردار است. **گوگرد:** طبق جدول ۴، سطح براونی گوگرد ($FD = 2/20$) متناسب با تغییرات عیار ۲۲۴۹۳ تا ۳۳۴۸۲ گرم بر تن و در فاصله‌های ۲۶ تا ۴۰ متر از مرکز بی‌هنجاری بیشینه (۳۸۷۱۰ گرم



شکل ۸. تابع چگالی پراش-مسافت برای عناصر ردیاب معدن کالامین. سطوح آبی از نوع براونی هستند.

Fig. 8. V-D density function for pathfinder elements of Calamine. Blue indicates real BS.

جدول ۴، مدل پراش - مسافت برای غیرفلزات با سطح توزیع براونی مطلوب در معدن کالامین مهدی آباد یزد (FD: بعد فرکتال، BS: سطح توزیع براونی، Var: پراش عیار، D: مسافت اثر پراش عیار، Dn-Dmin: تفاضل مسافت اثر پراش‌ها، Cum Area: توزیع تجمعی، Grade: عیار بر حسب بی‌پی‌ام، Slope: شیب خط)

Table 4. Variance-Distance model for non-metals with Real BSs on calamine of Mehdiabad, Yazd (FD: Fractal Dimension, BS: Brownian Surface, Var: Variance, D: Distance (m), Dn-Dmin: Differential Distance (m), Cum Area: Cummulative Area, Grade: ppm, Slope: line slope)

Elements	Cum Area	D (m)	Dn-Dmin	Grade (ppm)	Var	Log (Dn-Dmin)	Log (Var)	Slope	FD	BS
As	100650	179.04	166.11	84.8843	2013.48	2.22	3.30	2.50	2.63	Real
	61425	139.86	126.93	97.7117	1026.84	2.10	3.01	2.76		
	27750	94.01	81.08	112.4831	298.36	1.91	2.47	1.30		
S	5175	40.60	27.67	24393.12	204992930.97	1.44	8.31	2.24	2.20	Real
	3300	32.42	19.49	29047.86	93370360.91	1.29	7.97	2.34		
	1900	24.60	11.67	33483.00	27328838.93	1.07	7.44			

عنصر از روند خطی با تمایل نسبی به ایجاد مؤلفه‌های متناظر (شبه‌فرکتالی) برخوردار است و در محدوده بی‌هنگاری خود، برای بررسی تغییرات اکسیداسیون-احیایی معدن کالامین مناسب است.

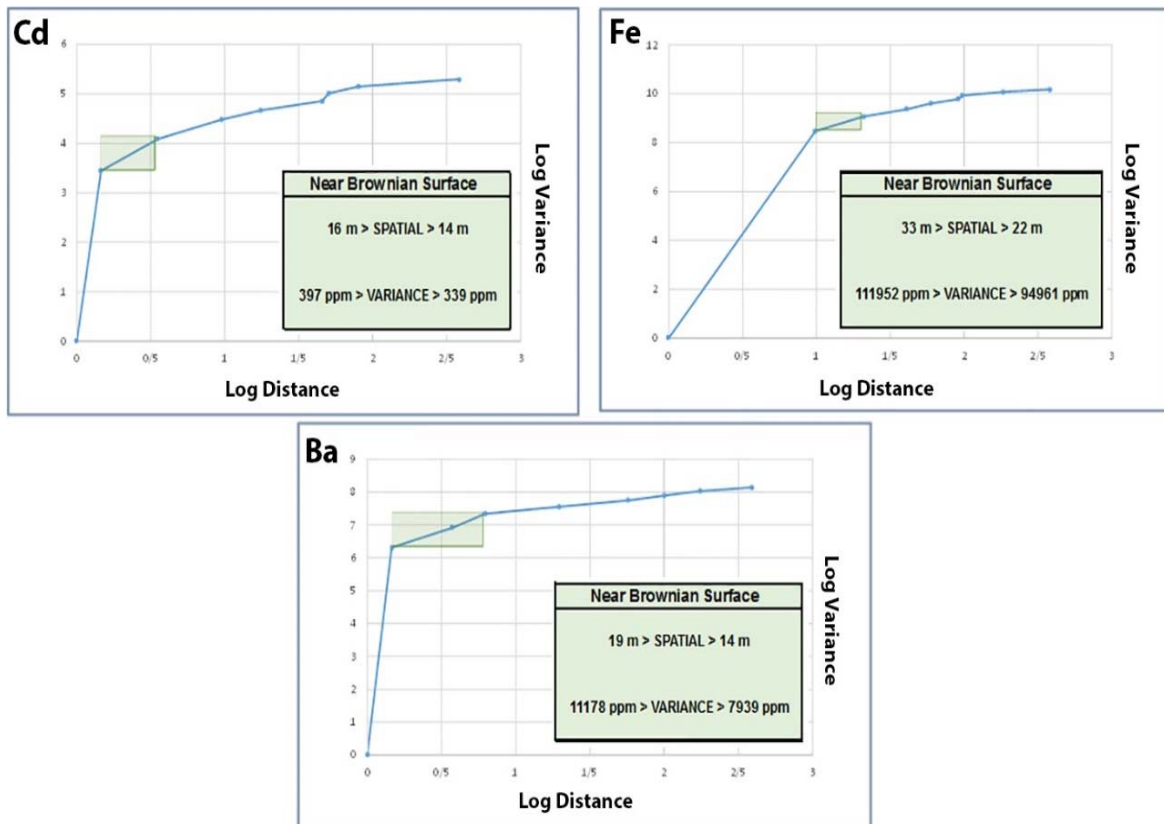
(۵) غیرفلزات با سطح توزیع نزدیک به سطح براونی
باریم: طبق جدول ۵، سطح نزدیک به توزیع براونی کادمیم (FD=۱/۶۰) متناسب با تغییرات عیار ۷۹۳۹ تا ۱۱۱۷۸ گرم بر تن و در فاصله‌های ۱۶ تا ۱۹ متر از مرکز بی‌هنگاری بیشینه (۴۴۹ گرم بر تن) مشاهده می‌شود. با توجه به وضعیت تابع چگالی و تغییرات نامتعارف بعد فرکتال (شکل ۹)، توزیع سطحی این عنصر از روند خطی با تمایل نسبی به ایجاد مؤلفه‌های متناظر (شبه‌فرکتالی) برخوردار است و فقط در محدوده بی‌هنگاری خود، برای ردیابی سایر عناصر میان کانساری مورد نظر است.

آهن: طبق جدول ۵، سطح نزدیک به توزیع براونی آهن (۱/۸۳) متناسب با تغییرات عیار ۹۴۹۶۱ تا ۱۱۱۹۵۲ گرم بر تن و در فاصله‌های ۲۲ تا ۳۳ متر از مرکز بی‌هنگاری بیشینه (۱۲۹۰۴۴ گرم بر تن) مشاهده می‌شود. با توجه به وضعیت تابع چگالی و تغییرات نامتعارف بعد فرکتال (شکل ۹)، توزیع سطحی این

جدول ۵. مدل پراش- مسافت برای فلزات با سطح توزیع نزدیک به سطح براونی در معدن کالامین مهدی آباد یزد (FD: بعد فرکتال، BS: سطح توزیع براونی، Var: پراش عیار، D: مسافت اثر پراش عیار، Dn-Dmin: تفاضل مسافت اثر پراش ها، Cum Area: توزیع تجمعی، Grade: عیار بر حسب بی بی ام، Slope: شیب خط)

Table 5. Variance-Distance model for metals with Near BSs on calamine of Mehdiabad, Yazd (FD: Fractal Dimension, BS: Brownian Surface, Var: Variance, D: Distance (m), Dn-Dmin: Differential Distance (m), Cum Area: Cummulative Area, Grade: ppm, Slope: line slope)

Elements	Cum Area	D (m)	Dn-Dmin	Grade (ppm)	Var	Log (Dn-Dmin)	Log (Var)	Slope	FD	BS
Cd	850	16.45	3.52	339.38	12210.69	0.55	4.09	1.67	1.67294	Near
	650	14.39	1.46	397.07	2789.11	0.16	3.45			
Fe	3575	33.74	20.81	94961.56	1161622129.94	1.32	9.07	1.84	Near	
	1625	22.75	9.82	111952.76	292115366.02	0.99	8.47			



شکل ۹.تابع چگالی پراش- مسافت برای عناصر ردیاب معدن کالامین. سطوح سیز از نوع نزدیک به سطح توزیع براونی هستند.

Fig. 9. V-D density function for pathfinder elements of Calamine. Green indicates near BS.

جدول ۶، مدل پراش - مسافت برای غیرفلزات با سطح توزیع نزدیک به سطح براونی (باریم) در معدن کالامین مهدی‌آباد یزد (FD: بعد فرکتال، BS: سطح توزیع براونی، Var: پراش عیار، D: مسافت اثر پراش عیار، Dn-Dmin: تفاضل مسافت اثر پراش‌ها، Cum Area: توزیع جمعی، Grade: عیار بر حسب بی‌بی‌ام، Slope: شیب خط)

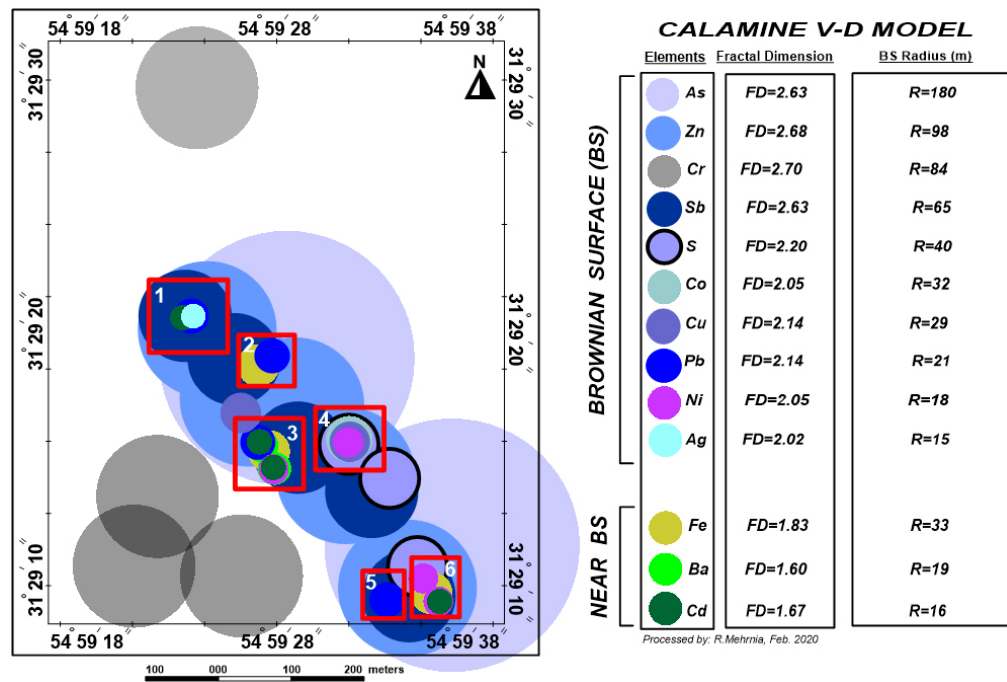
Table 6. Variance-Distance model for non-metals with Near BSs (Ba) on calamine of Mehdiabad, Yazd (FD: Fractal Dimension, BS: Brownian Surface, Var: Variance, D: Distance (m), Dn-Dmin: Differential Distance (m), Cum Area: Cummulative Area, Grade: ppm, Slope: line slope)

Cum Area	D (m)	Dn-Dmin	Ba (ppm)	Var (Ba)	Log (Dn-Dmin)	Log (Var)	Slope	FD	BS
1150	19.14	6.21	7939.64	21903002.79	0.79	7.34	1.95		
875	16.69	3.76	9745.74	8259701.84	0.58	6.92	1.46	1.60344	Near
650	14.39	1.46	11178.65	2076655.36	0.16	6.32			

نقشه پیش‌داوری

با توجه به جدول‌ها و نمودارهای پراش-مسافت (جدول‌های ۳، ۴، ۵ و ۶ و شکل‌های ۷، ۸ و ۹)، نقشه پیش‌داوری معدن کالامین با معرفی شش ناحیه هدف، طبق شکل ۱۰ ترسیم شده است. با توجه تغییرات بعد فرکتال (راهنمای شکل ۱۰)، سطوح براونی آرسنیک، روی، کروم، آنتیموان، گوگرد، کبات، مس، سرب، نیکل و نقره در شرایط مطلوبی قرار دارند. عناصر آهن، باریم و کادمیم دارای توزیع نزدیک به سطح براونی هستند. بزرگ‌ترین سطح متعلق به آرسنیک و کوچک‌ترین آن متعلق به نقره و کادمیم است. در بین عناصری که به سطح توزیع براونی رسیده‌اند، سه عنصر آرسنیک، آنتیموان و روی از مؤلفه‌های مشابهی برخوردارند (تغییرات بعد فرکتال و شعاع تأثیر سطوح براونی آنها نظیر هم است) و به طور مشخص در حدود زمینه‌ای سایر عناصر قرار دارند. لذا بیانگر فعالیت‌های پساماگمایی و خودساماندهی عناصر فوق کانساری تا میان کانساری در خلال رویداد کانهزایی منطقه کالامین هستند. کروم تنها عنصری است که مکان هندسی سطح براونی آن مستقل از سطوح براونی آرسنیک، آنتیموان و روی است.

طبق جدول‌های ۳، ۴، ۵ و ۶، تغییرات بعد فرکتالی عناصر شاخص و ردیاب معدن کالامین، بیانگر توسعه سطح توزیع براونی در عناصر آرسنیک، آنتیموان، روی و کروم است. توسعه سطح براونی در سایر عناصر محدود‌تر بوده و برای عناصر آهن، باریم و کادمیم از نوع شبکه‌فرکتالی است (نزدیک به سطح توزیع براونی). همچنین بر روی شکل‌های ۷، ۸ و ۹، نمودارهای پراش-مسافت ۱۳ عنصر شاخص و ردیاب معدن کالامین به صورت لگاریتمی رسم شده‌اند. محور افقی این نمودارها نشان‌دهنده مسافت اثر توزیع و محور عمودی آن بیانگر پراش عیار عناصر است. نمودارهایی که سطح توزیع آنها با رنگ آبی مشخص شده، بیانگر توزیع آرمانی عیارهای متناظر در سطح براونی مطلوب است (بعد فرکتالی این سطوح بین ۲ تا ۳ است). در مقابل، نمودارهایی که با رنگ سبز مشخص شده‌اند، بیانگر توزیع غیرآرمانی عناصر بوده و عیارهای متناظر محدود و کمتر توسعه یافته‌ای دارند که مکان هندسی آنها نزدیک به سطح توزیع براونی است (بعد فرکتالی این سطوح کمتر از ۲ بوده و شبکه‌فرکتال است). نقشه پیش‌داوری که در زیر ارائه شده، بر اساس فاصله‌های به دست آمده از مدل‌های پراش-مسافت و موقعیت سطوح توزیع براونی ترسیم شده است.



شکل ۱۰. نقشه پیش‌داوری به دست آمده از مدل پراش-مسافت در محدوده معدن روی-سرب کالامین (مهدی‌آباد، استان یزد)، مکان هندسی سطوح براونی به شکل دایره رسم شده است تا نشان‌دهنده سطح متقارن توزیع هر عنصر در فاز پیدایش عیارهای متناظر باشد. با توجه به تغییرات بعد فرکتال، ده عنصر اول از سطوح توزیع براونی مطلوب و سه عنصر انتهایی از سطوح توزیع نزدیک به سطح براونی برخوردارند.

Fig. 10. Prejudice map obtained from the Variance-Distance model in calamine mine Mehdiabad, Yazd. The geometric location of BSs is circular for representing a symmetrical distribution of self-similarities on fractal surfaces. According to FD variations, the first 10 elements have real BS, while the last 3 elements, contained near BS.

براونی آرسنیک، آنتیموان، سرب و روی مشاهده می‌شود. سرب و آهن هم‌پوشانی ناقصی دارند که ناشی از رفتار شبه‌فرکتالی آهن است. نتایج رگرسیون خطی آهن (جدول ۲) با توزیع نزدیک به سطح براونی این عنصر مغایرت دارد؛ یعنی تغییرات عیار آهن بیش از آنکه با توزیع عیار سرب و روی در ارتباط باشد، بیانگر شرایط اکسیداسیون-احیایی حاکم بر محیط کانسار بوده و در حضور گوگرد بر شرایط احیایی دلالت دارد و در غیاب آن، بیانگر شرایط اکسیدی منطقه است.

با توجه به نبود سطح توزیع براونی گوگرد، حاکمیت شرایط اکسیدی بیش از شرایط احیایی است. توالی سطوح براونی و مطابقت مکانی آنها با یکدیگر، بیانگر نظم ژئوشیمیایی هدف و اولویت آن برای این هدف اکتشافی بوده و برای پی‌جویی ذخایر سرب اولویت

با توجه به رابطه مکانی سطوح براونی، شش هدف اکتشافی با اعداد ۱ تا ۶ بر روی نقشه پیش‌داوری شکل ۱۰ مشخص شده‌اند که به ترتیب اهمیت ژئوشیمیایی و سازوکار مطابقت سطوح براونی به شرح زیر معرفی می‌شوند:

هدف اکتشافی ۱: در این هدف، هم‌پوشانی کامل سطوح براونی آرسنیک، آنتیموان، سرب، روی، نقره و کادمیم مشاهده می‌شود. کلیه سطوح از نوع براونی با $2 < FD \leq 6$ هستند. بیشینه عیار نقره معدن کالامین متعلق به این هدف بوده و منطبق بر سطح توزیع براونی سرب است. توالی سطوح براونی و مطابقت مکانی آنها با یکدیگر، بیانگر نظم ژئوشیمیایی هدف و اولویت آن برای پی‌جویی ذخایر سرب و روی است.

هدف اکتشافی ۲: در این هدف، هم‌پوشانی کامل سطوح

روی (به عنوان عناصر شاخص معدن کالامین) برخوردارند. در مقابل، عناصری که توزیع شان از نوع شبه فرکتالی است (سطوح نزدیک به سطح براونی دارند)، اولویت کمتری برای ردیابی دارند. در این میان، رابطه فرکتالی زوج عناصر روی-کادمیم و سرب-باریم قابل توجه و بیانگر شرایط ردیابی محدود در منطقه مورد بررسی است. همچنین با توجه به موقعیت سطوح براونی نقره و کادمیم، پیش‌بینی می‌شود که اولویت کانه‌زایی سرب در هدف‌های اکتشافی ۱ و ۵ پیش از هدف‌های اکتشافی ۲ و ۳ باشد. کانه‌زایی روی محدود به هدف‌های اکتشافی ۲، ۳، ۴ و ۶ است. با توجه وضعیت سطوح براونی آهن و گوگرد، این کانه‌زایی در هدف‌های ۲ و ۳ متأثر از شرایط اکسیدی و در هدف‌های ۴ و ۶ متأثر از شرایط احیایی است (محدود بودن سطح براونی گوگرد به هدف‌های اکتشافی ۴ و ۶، نشانه‌ای از احتمال غنی‌شدگی در شرایط احیایی است). بر خلاف توزیع شبه فرکتالی آهن، تغییرات بعد فرکتالی گوگرد در شرایط آرمانی بوده و همپوشانی خوبی بین سطح براونی گوگرد با سطح براونی آنتیموان، روی، نیکل و کبالت مشاهده می‌شود. در سطح براونی گوگرد و آهن، نشانه‌هایی از بی‌نظمی به صورت تغییرات نامتعارف بعد فرکتال مشاهده می‌شود که ممکن است به دلیل تغییر فاز کانه‌زایی یا تأثیر عوامل زمین ساختی باشد. پدیده‌های ساختمانی (به ویژه گسل‌ها) علاوه بر تغییرات نامتعارف بعد فرکتال، موجب توسعه بی‌亨جاری‌ها و شکل‌گیری سطوح براونی در راستای شمال‌باخته‌ی-جنوب‌خاوری منطقه کالامین شده‌اند. بر خلاف سطح براونی کروم که مستقل از مکان هندسی سایر سطوح بی‌亨جاری است، توسعه سطح براونی نیکل در مطابقت نسبی با عناصر شاخص و ردیاب منطقه کالامین بوده و در هدف‌های اکتشافی ۴، ۶ و ۳ بیانگر احتمال کانه‌زایی بروون‌دمی در عمق رخساره‌های دگرسانی و سنگ میزان منطقه است.

در مجموع، پتانسیل کانی‌سازی روی در هر شش هدف قابل توجه بوده و در مقایسه با پتانسیل کانی‌سازی سرب (هدف‌های اکتشافی ۱، ۲، ۳ و ۵) از سطح توزیع وسیع و نسبتاً

دارد (عدم شکل‌گیری سطح براونی کادمیم، از اولویت اکتشاف روی می‌کاهد).

هدف اکتشافی ۳: در این چهارگوش، سطوح براونی عناصر سرب، آرسنیک، آنتیموان، باریم، روی، کادمیم، مس و نیکل مشاهده شده و سطح براونی آهن توسعه یافته است. صرف نظر از ماهیت برخی از عناصر پیش‌قرار (مانند باریم و آرسنیک)، هدف ۳ نشان‌دهنده مستقل بودن سطح براونی سرب از سطوح مس و نیکل است. بنابراین رفتار فرکتالی سرب و ارتباط آن با سطح براونی کادمیم مشابه هدف ۱ است. اگرچه در نبود سطح براونی سرب، همپوشانی نسبی عناصر ردیاب میانی (میان کانساری) قابل تأمل بوده و احتمال پی‌جويی آنها را در عمق هاله‌های دگرسانی مطرح می‌کند.

هدف اکتشافی ۴: در این چهارگوش، شاهد ظهور و توسعه سطح براونی عناصر آرسنیک، آنتیموان، روی، مس، نیکل و کبالت هستیم که در مطابقت مکانی با سطح براونی گوگرد هستند (غلبه شرایط احیایی). بنابراین احتمال دستیابی به زون غنی‌شده در هدف شماره ۴ پیش از سایر هدف‌های اکتشافی کالامین است (اگرچه پیش‌بینی می‌شود که بدون کانی‌سازی بروون‌دمی سرب باشد).

هدف اکتشافی ۵: رفتار فرکتالی و تنوع عناصر شاخص و ردیاب در هدف‌های ۵ و ۱ نظیر هم است. با این تفاوت که محدوده ۵، بدون سطح براونی کادمیم و نقره است که می‌تواند ناشی از تلاقی سطح کانه‌زایی به سطح فرسایش منطقه باشد.

هدف اکتشافی ۶: رفتار فرکتالی و توزیع ژئوشیمیابی عناصر ردیاب و شاخص هدف ۶، شباهت زیادی به هدف ۴ دارد. با این تفاوت که هدف ۶، بدون سطح براونی کبالت است؛ اما سطح براونی نیکل آن توسعه یافته است و سطح براونی کادمیم و آهن نیز به وجود آمده‌اند. مجاورت سطح براونی آهن و گوگرد نشانه تغییرات تدریجی اکسیدان-احیایی منطقه بوده و با سازوکار دگرسانی در شرایط احیایی (هدف ۴) تفاوت دارد.

چنانچه ملاحظه می‌شود، عناصری که سطح براونی آنها در شرایط مطلوب است، از اولویت خوبی برای ردیابی سرب و

ملّاک دستیابی به نقشه پیش‌داوری معدن کالامین، تعیین سطوح براوني عناصر و چگونگي هم‌پوشاني اين سطوح با يكديگر است. همچنین بر اساس ضرائب پواسوني مندرج در جدول ۲، بررسی رابطه عناصر ردياب و شاخص اين منطقه، نيازمند به كارگيري روش‌های غيرخطی بوده و تعیین سطح توزيع براوني عناصر، شرط لازم برای دستیابي به اولويت‌های اکشافي منطقه است. از ديدگاه فركتالي، توزيع سطحی دو عنصر سرب و روی به همراه توزيع سطحی برخی از عناصر فلزی و غيرفلزی در شرایط آرمانی است. بنابراین احتمال دارد که ناحیه‌بندی ليتوژئوشيميايی معناداري در امتداد گسل‌های منطقه وجود داشته باشد که احتمال وجود ذخایر پرعيار را در عمق سنگ ميزبان رسوی-آتشفسانی افزایش می‌دهد. نظر به اينکه پیدايش سطوح براوني سرب و روی به صورت تدریجي و در مطابقت با الگوی خودساماندهی هاله‌های ليتوژئوشيميايی بوده است؛ لذا پيش‌بیني می‌شود که ناحیه‌بندی منظمی از عناصر و هاله‌های دگرسانی و آثار کانه‌زایي آنها در عمق معدن کالامین وجود داشته باشد که تحت تأثير عوامل گسلی، سطوح فرسايشی و شرایط اكسايشی کواترنر، تضعيف شده و امكان شناسايي و اولويت‌بندی آنها بر اساس نتایج اين پژوهش فراهم شده است.

يکپارچه برخوردار است. در مقابل ، پتانسيل کانی‌سازی سرب محدود به هدف‌های ۱، ۲، ۳ و ۵ بوده و در اغلب آنها هم‌پوشاني خوبی با سطح براوني عنصر روی مشاهده می‌شود.

نتیجه‌گیری

نتایج این پژوهش، مبنی بر دو معيار واريوجرافی و تغیيرات بعد فركتال است. در مقایسه با اصول زمين‌آماری، مدل پراش-مسافت از نمودارهایي استفاده می‌کند که تغييرات پراش جامعه را در مقابل تغييرات مسافت اثر پراش بررسی می‌کنند. اما بر خلاف روش واريوجرافی، نقاط عطف نمودار پراش-مسافت، تابع تغييرات بعد فركتال بوده و متاثر از پدیده خودساماندهی ژئوشيميايی عناصر کانی‌ساز است. روش مورد استفاده برای تعیین ردياب‌های ژئوشيميايی منطقه کالامين با آنچه که در سوابق تحليل آماري اين منطقه یافت می‌شود، تفاوت دارد. برخلاف نتایج رگرسيون خطی (جدول ۲)، توزيع اغلب عناصر شاخص و ردياب معدن کالامين (جدول‌های ۴، ۵ و ۶)، از نوع پواسوني و تابع مكان بی‌هنجرائي‌ها و شعاع اثر سطوح براوني آنهاست (شکل ۱۰). از اين‌رو، ضرير همبستگي برخی از عناصر (مانند نقره با سرب) با نتایج شکل ۱۰ مغایرت دارد.

References

- Abdoli-Sereshgi, H., Ganji, A., Ashja-Ardalan, A., Torshizian, H. and Taheri, J. 2019. Detection of metallic prospects using staged factor and fractal analysis in Zouzan region, NE Iran. Iranian Journal of Earth Sciences, 11(4): 256–266. Retrieved October 16, 2019 from http://ijes.mshdiau.ac.ir/article_669400.html
- Afzal, P., Alghalandis, Y.F., Khakzad, A., Moarefvand, P. and Rashidnejad-Omran, N., 2011. Delineation of mineralization zones in porphyry Cu deposits by fractal concentration-Volume modeling. Journal of Geochemical Exploration, 108(3): 220–232. <https://doi.org/10.1016/j.gexplo.2011.03.005>
- Afzal, P., Yousefi, M., Mirzaei, M., Ghadiri-Sufi, E., Ghasemzadeh, S. and Daneshvar-Saein, L. 2019. Delineation of podiform-type chromite mineralization using Geochemical Mineralization Prospectivity Index (GMPI) and staged factor analysis in Balvard area (southern Iran). Journal of Mining and Environment, 10(3): 705–715. <https://doi.org/10.22044/jme.2019.8107.1678>
- Agterberg, F.P., 2012. Multifractals and geostatistics. Journal of Geochemical

- Exploration, 122: 113–122.
<https://doi.org/10.1016/j.gexplo.2012.04.001>
- Akbari, E. and Mehrnia, R., 2013. Association of Silica Fractal Distribution with Gold Mineralization: a case study from the Takmeh-Dash Region, NW of Iran. Quarterly Journal of Tethys, 1(4): 241–253. Retrieved November 28, 2013 from http://journals.pnu.ac.ir/article_2773.html
- Alipour-Shahsavari, M., Afzal, P. and Hekmatnejad, A. 2020. Identification of geochemical anomalies using fractal and LOLIMOT neuro-fuzzy modeling in Mial area, Central Iran. Journal of Mining and Environment, 11(1): 99–117.
<https://doi.org/10.22044/jme.2019.8465.1727>
- Bölviken, B., Stokke, P.R., Feder, J. and Jössang, T., 1992. The fractal nature of geochemical landscapes. Journal of Geochemical Exploration, 43(2): 91–109.
[https://doi.org/10.1016/0375-6742\(92\)90001-O](https://doi.org/10.1016/0375-6742(92)90001-O)
- Bonham-Carter, G.F., 1998. Geographic information systems for geoscientists: modeling with GIS. Pergamon Press, Oxford, 398 pp.
- Carranza, E.J.M., 2009. Controls on mineral deposit occurrence inferred from analysis of their spatial pattern and spatial association with geological features. Ore Geology Reviews, 35(3–4): 383–400.
<https://doi.org/10.1016/j.oregeorev.2009.01.001>
- Carranza, E.J.M., Owusu, E.A. and Hale, M., 2009. Mapping of prospectivity and estimation of number of undiscovered prospects for lode gold, southwestern Ashanti Belt, Ghana. Mineralium Deposita, 44(8): 915–938.
<https://doi.org/10.1007/s00126-009-0250-6>
- Carranza, E.J.M. and Sadeghi, M., 2010. Predictive mapping of prospectivity and quantitative estimation of undiscovered VMS deposits in Skellefte district (Sweden). Ore Geology Reviews, 38(3): 219–241.
<https://doi.org/10.1016/j.oregeorev.2010.02.003>
- Chen, G., Cheng, Q. and Zuo, R., 2016. Fractal analysis of geochemical landscapes using scaling noise model. Journal of Geochemical Exploration, 161: 62–71.
<https://doi.org/10.1016/j.gexplo.2015.11.003>
- Cheng, Q., Xu, Y. and Grunsky, E., 2000. Integrated spatial and spectrum method for geochemical anomaly separation. Natural Resources Research 9(1): 43–51.
<https://doi.org/10.1023/A:1010109829861>
- Cheng, Q., Xia, Q., Li, W., Zhang, S., Chen, Z., Zuo, R. and Wang, W., 2010. Density/area power-law models for separating multi-scale anomalies of ore and toxic elements in stream sediments in Gejiu mineral district, Yunnan Province, China. Biogeosciences, 7(10): 3019–3025. <https://doi.org/10.5194/bg-7-3019-2010>
- Daneshvar-Saein, L., 2017. Delineation of enriched zones of Mo, Cu and Re by concentration-volume fractal model in Nowchun Mo-Cu porphyry deposit, SE Iran. Iranian Journal of Earth Sciences, 9(1): 64–74. Retrieved January 3, 2017 from <https://www.sid.ir/en/journal/ViewPaper.aspx?ID=542407>
- Davis, J.C., 2002. Statistics and data analysis in geology. John Wiley and Sons Inc, New York, 638 pp.
- Ebrahim-Mohseni, M., 2011. Study of genesis of Mehdiabad deposit using fluid inclusion and stable isotope. Unpublished M.Sc. Thesis, Damghan University, Damghan, Iran, 166 pp.
- Farahmandfar, Z., Jafari, M.R., Afzal, P. and Ashja Ardalan, A., 2020. Description of gold and copper anomalies using fractal and stepwise factor analysis according to stream sediments in NW Iran. Geopersia, 10(1): 135–148.
<https://doi.org/10.22059/geope.2019.265535.648413>
- Grigoryan, S.V., 1974. Primary geochemical halos in prospecting and exploration of hydrothermal deposits. International Geology Review, 16(1): 12–25.
<https://doi.org/10.22059/geope.2019.265535.648413>
- Hashemi-Marand, Gh., Jafari, M.R., Afzal, P. and Khakzad, A., 2018. Determination of relationship between silver and lead mineralization based on fractal modeling in Mehdiabad Zn-Pb-Ag deposit, Central Iran. Geosciences, 27(106): 111–118.
<https://doi.org/10.22071/gsj.2018.58371>
- Hassani-Pak, A.A., 2012. Principles of geochemical exploration. University of Tehran

- Publication, Tehran, 615 pp. (in Persian)
- Koosha Mining Company, 2018. Prepared Geological map 1:1000 Calamine mine, Yazd. Mehdiabad Mining Complex.
- Luz, F., Mateus, A., Matos, J.X. and Goncalves, M.A., 2014. Cu-and Zn-soil anomalies in the NE border of the south Portuguese zone (Iberian Variscides, Portugal) identified by multifractal and geostatistical analyses. *Natural Resources Research*, 23(2): 195–215. <https://doi.org/10.1007/s11053-013-9217-5>
- Maghfouri, S., 2017. Geology, Geochemistry, Ore Controlling Parameters and Genesis of Early Cretaceous Carbonate-clastic Hosted Zn-Pb Deposits in Southern Yazd Basin, with Emphasis on Mehdiabad Deposit. Unpublished Ph.D. Thesis, Tabriz University, Tabriz, Iran, 475 PP.
- Mandelbrot, B.B., 1983. *The Fractal Geometry of Nature*. W.H. Freeman, San Fransisco, 468 pp.
- Mark, D.M. and Aronson, P.B., 1984. Scale-Dependent Fractal Dimensions of Topographic Surfaces: An Empirical Investigation, with Applications in Geomorphology and Computer Mapping. *Journal of the International Association for Mathematical Geology*, 16(7): 671–683. <https://doi.org/10.1007/BF01033029>
- Mehrnia, S.R., 2009. Using Fractal Filtering Technique for Processing ETM Data as Main Criteria for Evaluating of Gold Indices in North West of Iran. International Conference on Computer Technology and Development, ICCTD, Kota Kinabalu, Malaysia. <https://doi.org/10.1109/ICCTD.2009.29>
- Mehrnia, S.R., 2013. Application of fractal geometry for recognizing the pattern of textural zoning in epithermal deposits (case study: Sheikh-Darabad Cu-Au indices, East-Azerbaijan province). *Journal of Economic Geology*, 5(1): 23–36. (in Persian with English abstract) <https://doi.org/10.22067/econg.v5i1.22885>
- Mehrnia, S.R., 2017. Application of Fractal Technique for Analysis of Geophysical - Geochemical Databases in Tekieh Pb-Zn Ore Deposit (SE of Arak). *Journal of Economic Geology*, 8(2): 325–342. (in Persian with English abstract) <https://doi.org/10.22067/econg.v8i2.42454>
- Mehrnia, S.R., Ebrahimzadeh-Ardestani, V. and Teymoorian-Motlagh, A., 2013. Application of fractal method to determine the Bouguer density of Charak Region (South of Iran). *Iranian Journal of Geophysics*, 7(1): 34–50. http://www.ijgeophysics.ir/article_40598.html?lang=en
- Morison, G., 2003. AMIRA Project, Revised version: Evaluating of Gold Mineralization Potentials in Queensland Epithermal Systems, Queensland J.C. Univ. press, Queensland, Australia, 249 pp.
- Parsa, M., Maghsoudi, A. and Ghezelbash, R., 2016. Decomposition of anomaly patterns of multi-element geochemical signatures in Ahar area, NW Iran: a comparison of U-spatial statistics and fractal models. *Arabian Journal of Geosciences*, 9(260): 1–16. <https://doi.org/10.1007/s12517-016-2435-5>
- Pourfaraj, H., 2016. Structural analysis of fault systems in Mehdiabad Zn-Pb Mine area, SE Yazd. Unpublished M.Sc. Thesis, Tarbiat Modares University, Tehran, Iran, 192 pp.
- Reichert, J., Borg, G. and Rashidi, B., 2003. Mineralogy of calamine ore from the Mehdi Abad zinc-lead deposit, Central Iran. 7th Biennial Meeting, Society for Geology Applied to Mineral Deposits; Mineral exploration and sustainable development, Athens, Greece. Retrieved December 16, 2003 from <https://www.tib.eu/en/search/id/BLCP%3ACN057745834/Mineralogy-of-calamine-ore-from-the-Mehdi-Abad/>
- Soltani, F., Moarefvand, P., Alinia, F. and Afzal, P. 2020. Detection of Main Rock Type for Rare Earth Elements (REEs) Mineralization Using Staged Factor and Fractal Analysis in Gazeran Iron-Apatite Deposit, Central Iran. *Geopersia*, 10(1): 89–99. <https://doi.org/10.22059/geope.2019.279698.648474>
- Teymoorian-Motlagh, A., Ebrahimzadeh-Ardestani, V. and Mehrnia, R., 2012. Fractal method for determining the density of the stone tablet in Charak region (southern Iran). *Life Science Journal*, 9(4): 1913–1923. <https://doi.org/10.7537/marslsj090412.290>
- Thorarinsson, F. and Magnusson, S.G., 1990. Bouguer density determination by fractal analysis. *Geophysics*, 55(7): 932–935. <https://doi.org/10.1190/1.1442909>
- Wang, Q., Deng, J., Liu, H., Wang, Y., Sun, X. and Wan, L., 2011. Fractal models for estimating

- local reserves with different mineralization qualities and spatial variations. *Journal of Geochemical Exploration*, 108(3): 196–208.
<https://doi.org/10.1016/j.gexplo.2011.02.008>
- Wei, Sh. and Pengda, Zh., 2002. Theoretical study of statistical fractal model applications to mineral resource prediction. *Computers and Geosciences*, 28(3): 369–376.
[https://doi.org/10.1016/S0098-3004\(01\)00052-8](https://doi.org/10.1016/S0098-3004(01)00052-8)
- Zuo, R., and Wang, J., 2016. Fractal/multifractal modeling of geochemical data: A review. *Journal of Geochemical Exploration*, 164: 33–41.
<https://doi.org/10.1016/j.gexplo.2015.04.010>
- Zuo, R., Carranza, E.J.M. and Wang, J., 2016. Spatial analysis and visualization of exploration geochemical data. *Earth-Science Reviews*, 158: 9–18.
<https://doi.org/10.1016/j.earscirev.2016.04.006>

COPYRIGHTS

©2021 The author(s). This is an open access article distributed under the terms of the Creative Commons Attribution (CC BY 4.0), which permits unrestricted use, distribution, and reproduction in any medium, as long as the original authors and source are cited. No permission is required from the authors or the publishers.



How to cite this article

Sadrmoammadi, N., Mehrnia, S.R., Rezaei, Kh., Kadioğlu, S. and Honarvar, M., 2021. Application of Variance-Distance exponential model in geochemical studies of zinc calamine ore deposit (Mehdiabad mining complex of Yazd). *Journal of Economic Geology*, 13(2): 411–434. (in Persian with English abstract) <https://dx.doi.org/10.22067/econg.v13i2.87140>



Application of Variance-Distance exponential model in geochemical studies of zinc calamine ore deposit (Mehdiabad mining complex of Yazd)

Nasrin Sadrmoammadi^{1*}, Seyed Reza Mehrnia², Khalil Rezaei¹, Selma Kadioğlu³ and Mahmood Honarvar⁴

1) Department of Geology, Faculty of Earth Sciences, Kharazmi University of Tehran, Tehran, Iran

2) Department of Geology, Faculty of Sciences, Payam Noor University (PNU), Tehran, Iran

3) Department of Geophysical Engineering, Faculty of Engineering, Ankara University, Ankara, Turkey

4) Zap consulting engineers, Tehran, Iran

Submitted: June 01, 2020

Accepted: Jan. 06, 2021

Keywords: Brownian Surface, Calamine, Zn-Pb mineralization, Variance-Distance model

Introduction

Calamine Zn-Pb deposit (Mehdiabad, Yazd, Central Iran) is a mineable nonsulfide mineralization, located in the upper part of a volcano-sedimentary basin at intersection with erosion surfaces. From statistical viewpoint, geochemical distributions of trace elements due to volcanic-exhalative processes, may naturally be predominated by self-organized zonation in ore mineralized regions (Cheng et al., 2000; Mehrnia, 2017). Therefore, attention is paid to nonlinear distribution of particular elements to finding their spatial relations with concealed ore mineralization for prospecting sedimentary-hosted exhalative deposit (SEDEX). In this way, calculation and analysis of statistical coefficients is a necessary stage for prospection of the inter-relation of typomorphic elements. In cases where the erosion surfaces result in redistribution of supra ore elements, the approach of linear regression coefficient is not recommended, because progressive weathering usually hides the natural zonality of elements, as an expected criterion for hypogenic mineralization (Hassani-Pak, 2012). Our research approach which is to find a proper zonality of elements is based on nonlinear assessment of geochemical distributions for a case of epigenetic mineralization that seems to be related to deep/concealed SEDEX deposits.

Material and method

Current research uses a variance-distance equation to modify the linear regression results as follows:

$$\text{Log}(\text{Vx}) = \text{FD Log}(\text{Dvx}) \quad (1)$$

where $\text{Log}(\text{Vx})$ and $\text{Log}(\text{Dvx})$ are the logarithms of variances and distances respectively; and FD is the fractal dimension. A log-log plot is used to illustrate Vx and Dvx changes on horizontal (X) and vertical (Y) axes to obtain a distribution's density function. By statistical concepts, FD is an independent variable from the central tendencies as well as distribution parameters. Meanwhile, a self-organizing property of geochemical distributions is geometrically dependent on fractal dimension changes on power-law's log-log plots. For obtaining the natural geochemical zonation of Calamine's path-finder elements, a set of lithogeochemical data has been used. Consequently, a total of 180 litho-samples of Calamine region were collected and interpolated to find the anomalous populations.

A GIS-based software (Spatial Analyst) was used here to obtain geometric and statistical quantities which are necessary for variance-distance equation (Teymoorian-Motlagh et al., 2012). This soft-package works on ArcMap with the ability to export summarized data to other supplementary software packages such as Excel which are used to complete and present V-D log-log plots.

*Corresponding author Email: nasrin_sadrmoammady@yahoo.com

DOI: <https://dx.doi.org/10.22067/econg.v13i2.87140>

At the second step, we used fractal dimension changes to identify the Brownian surfaces of elements. This surface usually contains a set of paragenetic elements which are found together within several correlated zonations with respect to their rate of activities in magmatic environments. A Brownian surfaces is formed of particular geometric locations of self-similar populations. When it changes between $2.5 > FD > 2$, it represents scale-invariant continuity of distributions (Thorarinsson and Magnusson, 1990). In other word, this surface denotes the tendency of trace-elements to nonlinear distributions and it is geometrically related to a probable phase of mineralization in some epigenetic ore deposits.

Discussion

Based on a variance-distance model for Calamine's indicative and path-finder elements, six target areas are presented in a contoured prognostic map, which contains As, Zn, Cr, Sb, S, Co, Cu, Pb, Ni and Ag in a sequent. Order of this sequent is based on geometry of their Brownian surfaces. The largest surface belongs to As while the smallest one belongs to Ag and Cd. Among the elements which have reached the Brownian surface, As, Sb and Zn shared similar fractal parameters and extended at the background of other elements. Cr was the only element which did not follow the As, Sb and Zn backgrounds, because its geometrical location is independent of other elements. The mentioned target-areas which are marked on the prognostic map, have different scoring of mineralization potentials that is prioritized by considering zonation peculiarities of elements on fractal surfaces.

Results

Fractal relationship of elements is conceptually different from what is generally stated in statistical models. Therefore, many elements which have desirable linear correlation with each other

(relatively good condition for path-finding), are unfavorable as V-D models and vice versa. From a nonlinear perspective, a Poisson distribution is the most important criterion for analyzing coherency of elements in hypogenic environments. As a final result, we have illustrated that Brownian surfaces in As, Zn and Sb are extended well in the central and southeastern parts of Calamine, marking a proper relation of the structures with the host units during exhalative activities of the region. The high amount of these elements compared to the background indicates the effect of fluid flows and the penetration of mineralizing solutions under a supergene condition of the mine as well opening the fractures and fault systems.

References

- Cheng, Q., Xu, Y. and Grunsky, E., 2000. Integrated spatial and spectrum method for geochemical anomaly separation. *Natural Resources Research* 9(1): 43–51. <https://doi.org/10.1023/A:1010109829861>
- Hassani-Pak, A.A., 2012. Principles of geochemical exploration. University of Tehran Publication, Tehran, 615 pp. (in Persian)
- Mehrnia, S.R., 2017. Application of Fractal Technique for Analysis of Geophysical - Geochemical Databases in Tekieh Pb-Zn Ore Deposit (SE of Arak). *Journal of Economic Geology*, 8(2): 325–342. (in Persian with English abstract) <https://doi.org/10.22067/econg.v8i2.42454>
- Teymoorian-Motlagh, A., Ebrahimzadeh-Ardestani, V. and Mehrnia, R., 2012. Fractal method for determining the density of the stone tablet in Charak region (southern Iran). *Life Science Journal*. 9(4): 1913–1923. <https://doi.org/10.7537/marslsj090412.290>
- Thorarinsson, F. and Magnusson, S.G., 1990. Bouguer density determination by fractal analysis. *Geophysics*, 55(7): 932–935. <https://doi.org/10.1190/1.1442909>